

Imagerie stéréo : retrouver la 3D

Images stéréo

- 2 caméras placés à $b=5$ cm distance, axes optiques parallèles

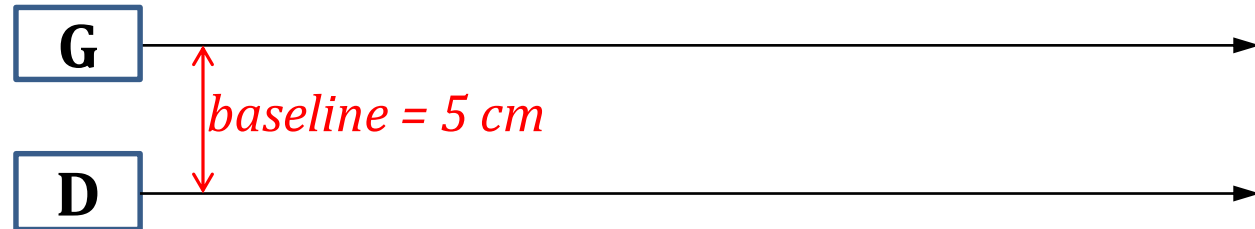


Image de caméra gauche

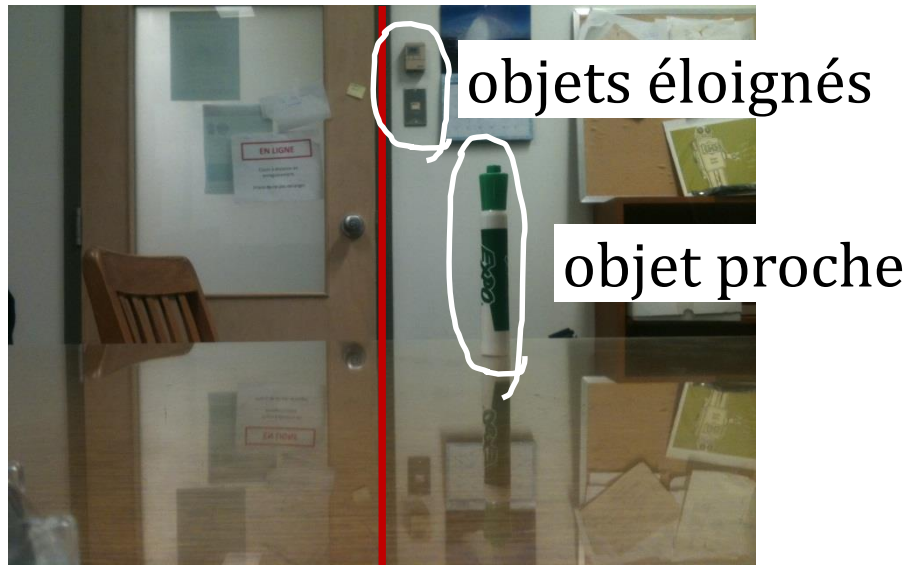
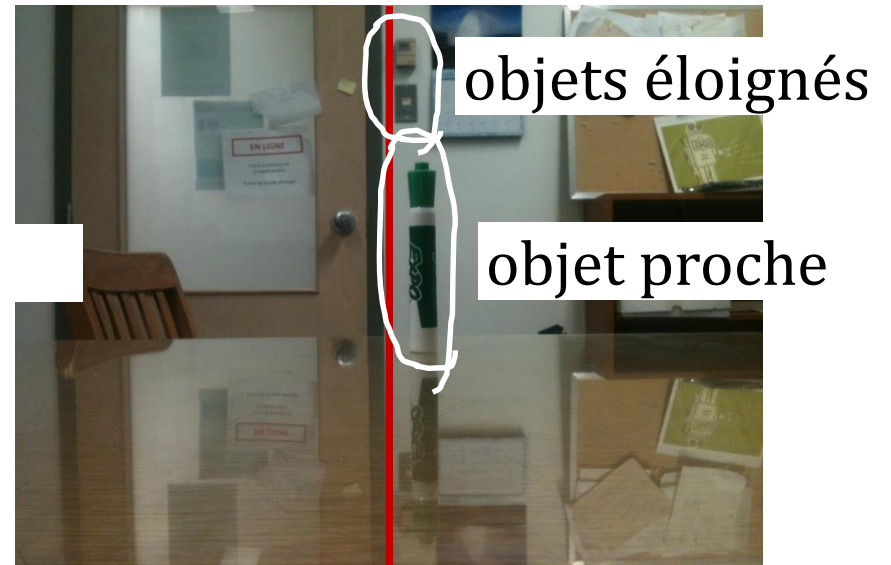


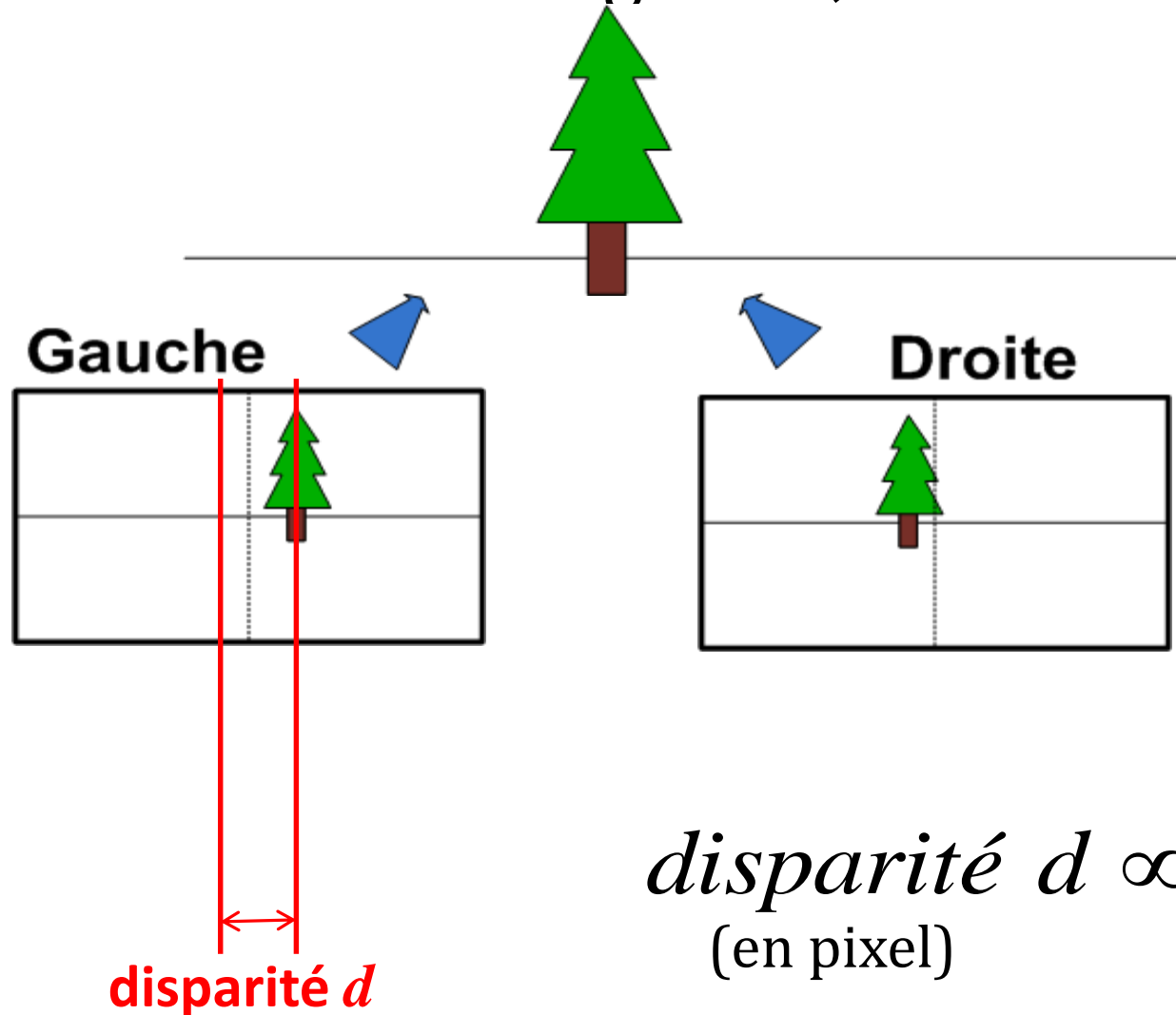
Image de caméra droite



centre de l'image

Imagerie stéréo

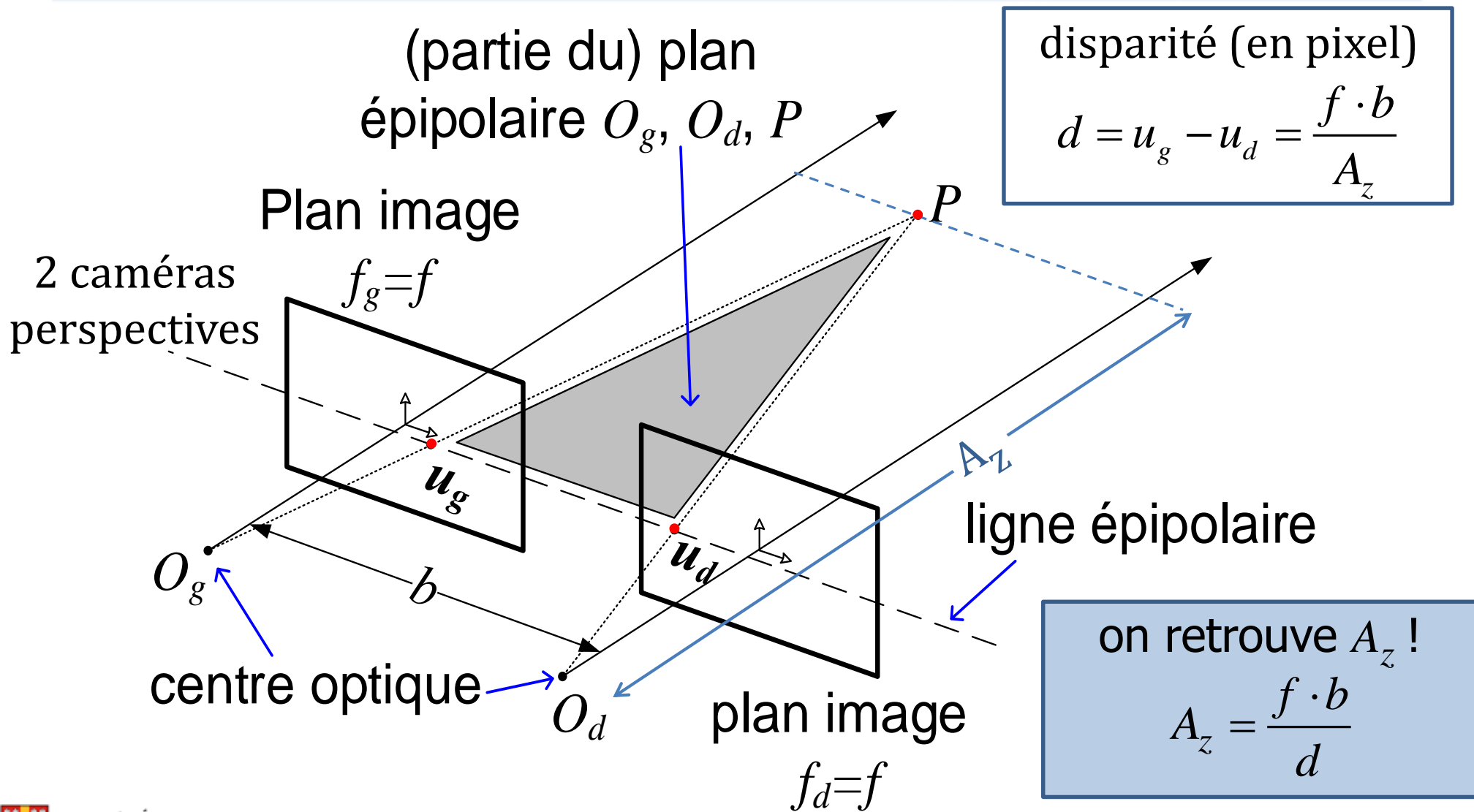
- À partir de deux images 2D, retrouver 3D



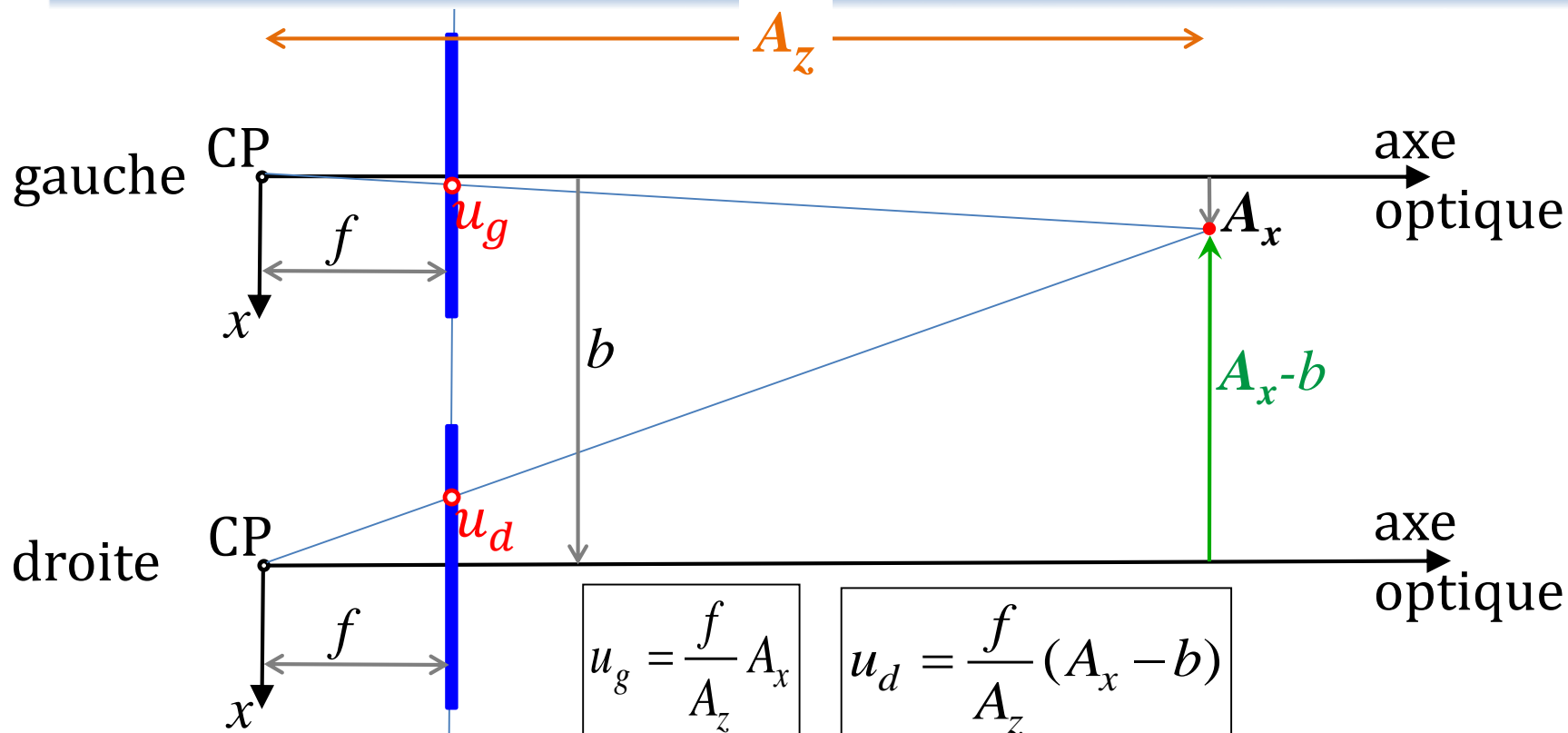
$$\text{disparité } d \propto \frac{1}{A_z}$$

(en pixel)

Caméra stéréo : pour retrouver la 3D



Disparité



$$u_g = \frac{f}{A_z} A_x$$

$$u_d = \frac{f}{A_z} (A_x - b)$$

$$d = u_g - u_d = \frac{f}{A_z} A_x - \frac{f}{A_z} (A_x - b) = \frac{f}{A_z} b$$

note: on assume la même focale f pour g et d

plans images

On retrouve donc la profondeur du point :

$$A_z = \frac{f b}{d}$$

Sensibilité stéréo : *baseline b*



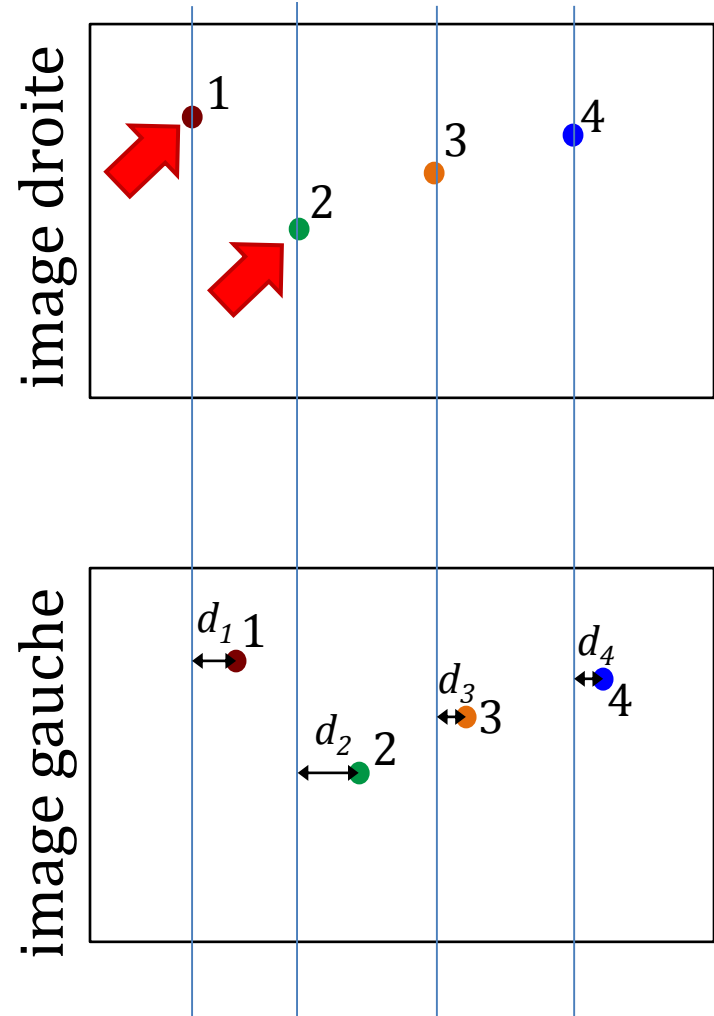
Télémètre Allemand
Entfernungsmesser-1m-R-36
Tir anti-aérien
Baseline $b = 1 \text{ m}$



$$A_z = \frac{f b}{d}$$

Disparité à chaque point visible (pixel?)

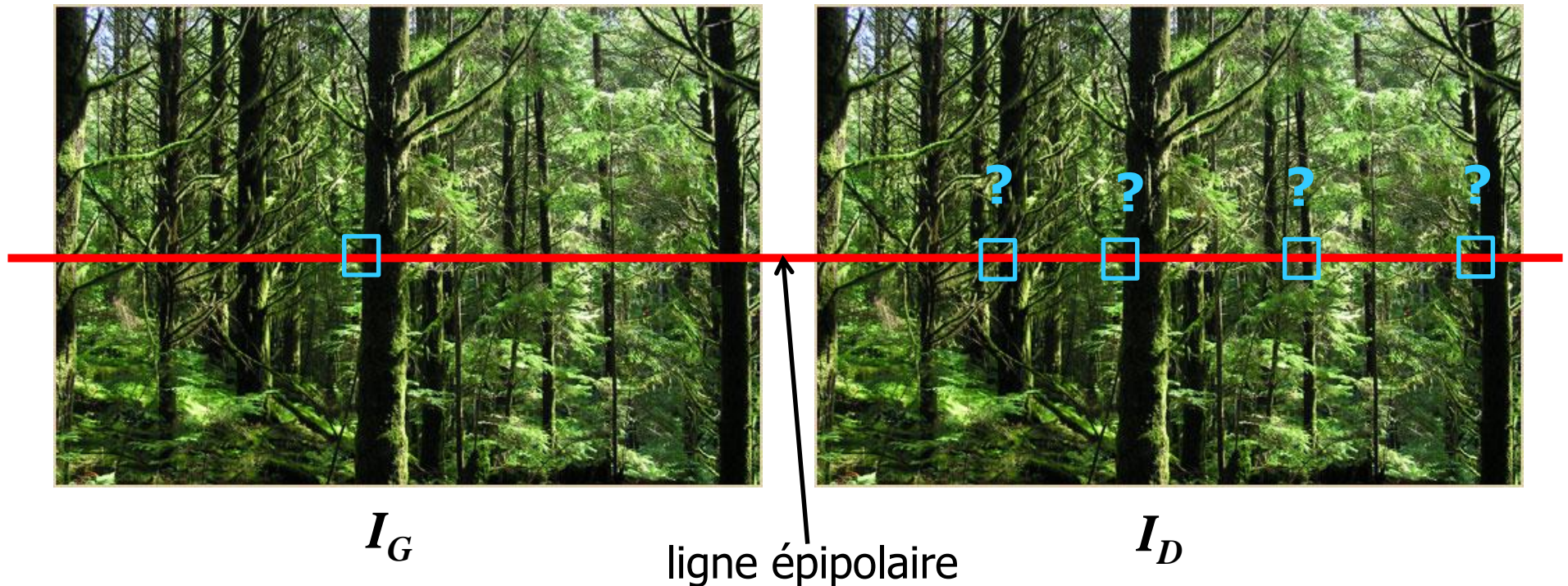
- Pour chaque point visible i , on doit :
 - faire la correspondance entre les deux images *(basé sur l'apparence)* *data association*
 - estimer la disparité d_i
- On pourra ainsi retrouver la profondeur A_{zi} pour chaque point i
- Si on calcule la disparité d_i pour chaque pixel, beaucoup de calcul!



Cas simpliste, 4 points
visibles devant la caméra 59

Problème de correspondance... *data association*

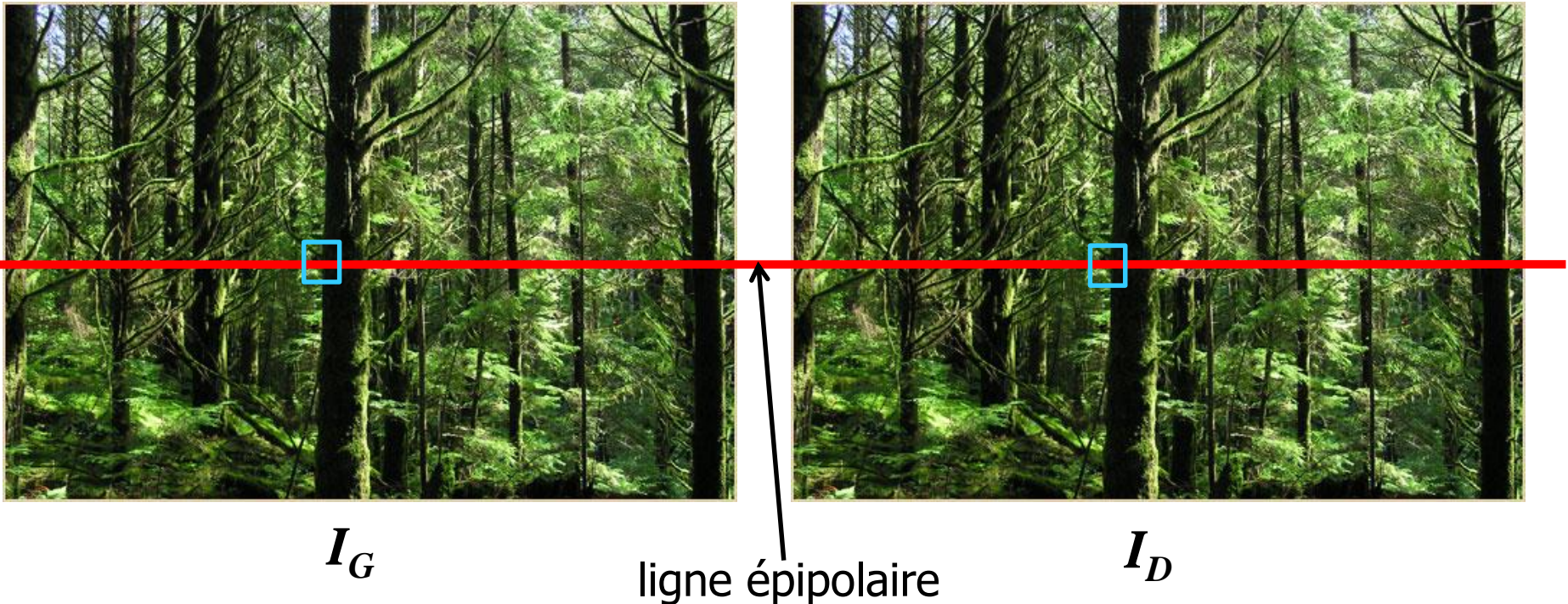
- Quel pixel dans l'image I_D correspond au pixel du même point physique dans image I_G sur la **ligne épipolaire***?



**On assume que les caméras sont décalées strictement horizontalement, d'où la ligne épipolaire horizontale*

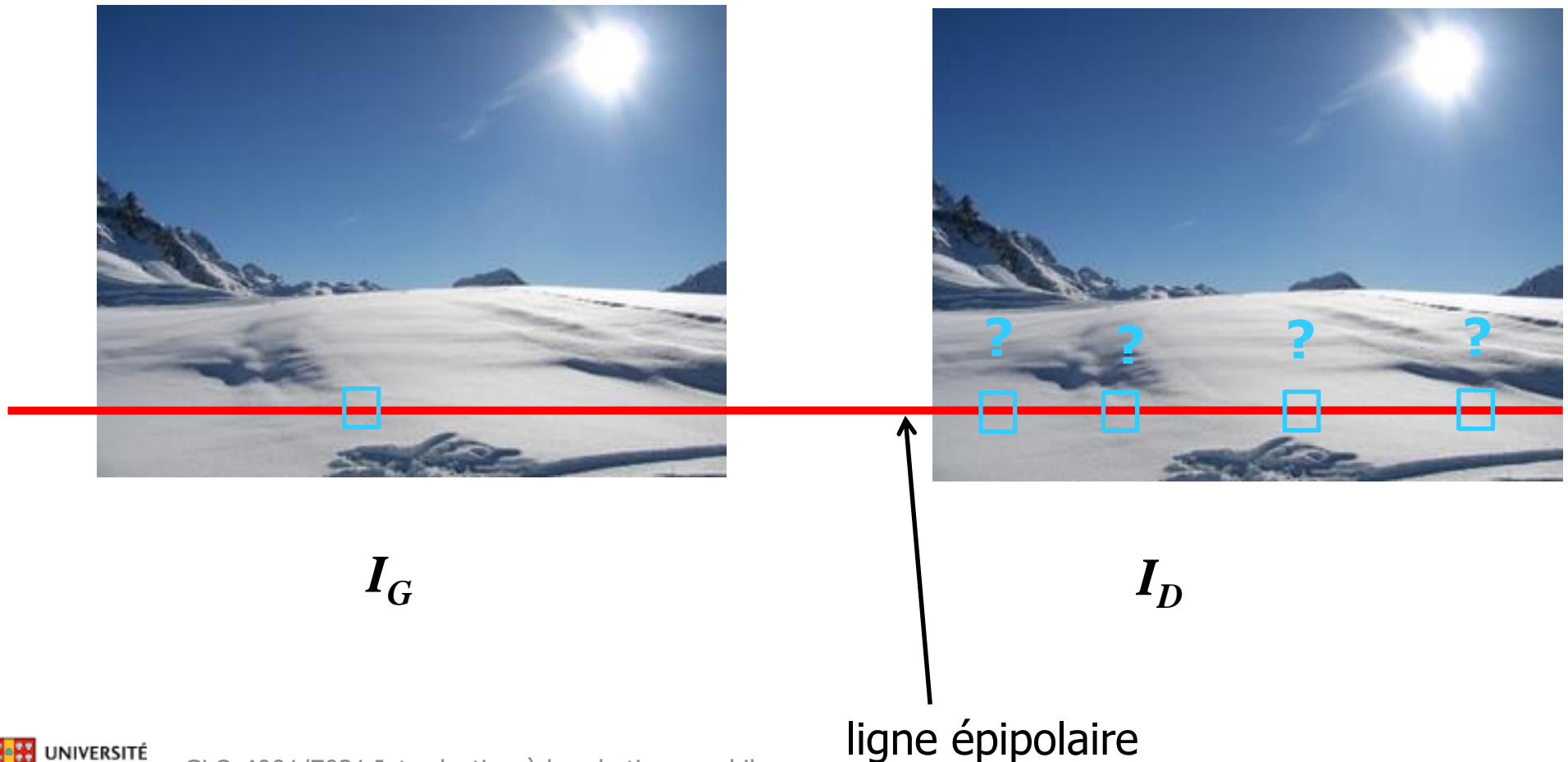
Problème de correspondance... *data association*

- Quel pixel dans l'image I_D correspond au pixel du même point physique dans image I_G sur la **ligne épipolaire**?



Problème de correspondance...

- Quel point dans image I_D correspond au point dans l'image I_G ?



Exemples *disparity map*

- *Disparity map* : valeur de A_z pour chaque pixel



manque *features* visuels



disparity map

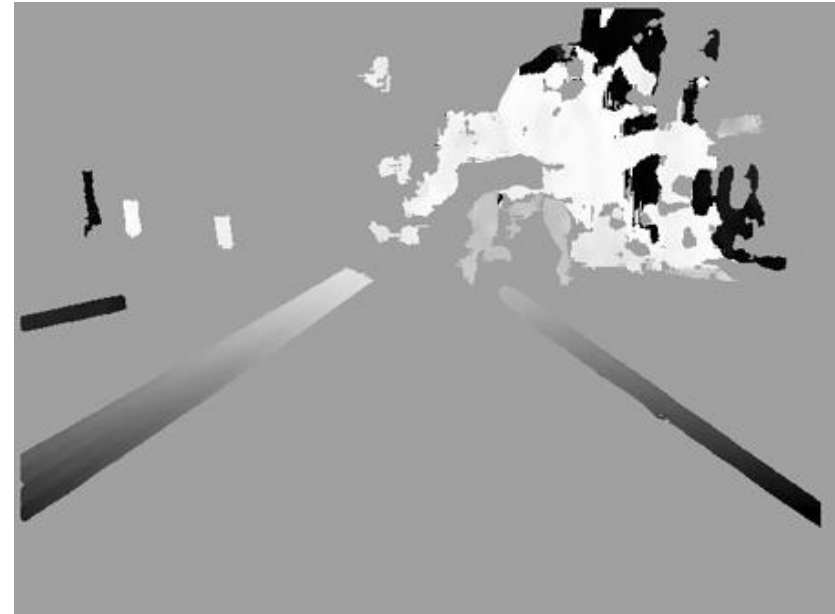
Using real-time stereo vision for mobile robot navigation

Don Murray

Jim Little

Computer Science Dept.
University of British Columbia
Vancouver, BC, Canada V6T 1Z4

Conduite en ville par stéréo ?



Caméras actives

Kinect 1 : stéréo active

- Caméra « 3D »
- Lumière structurée

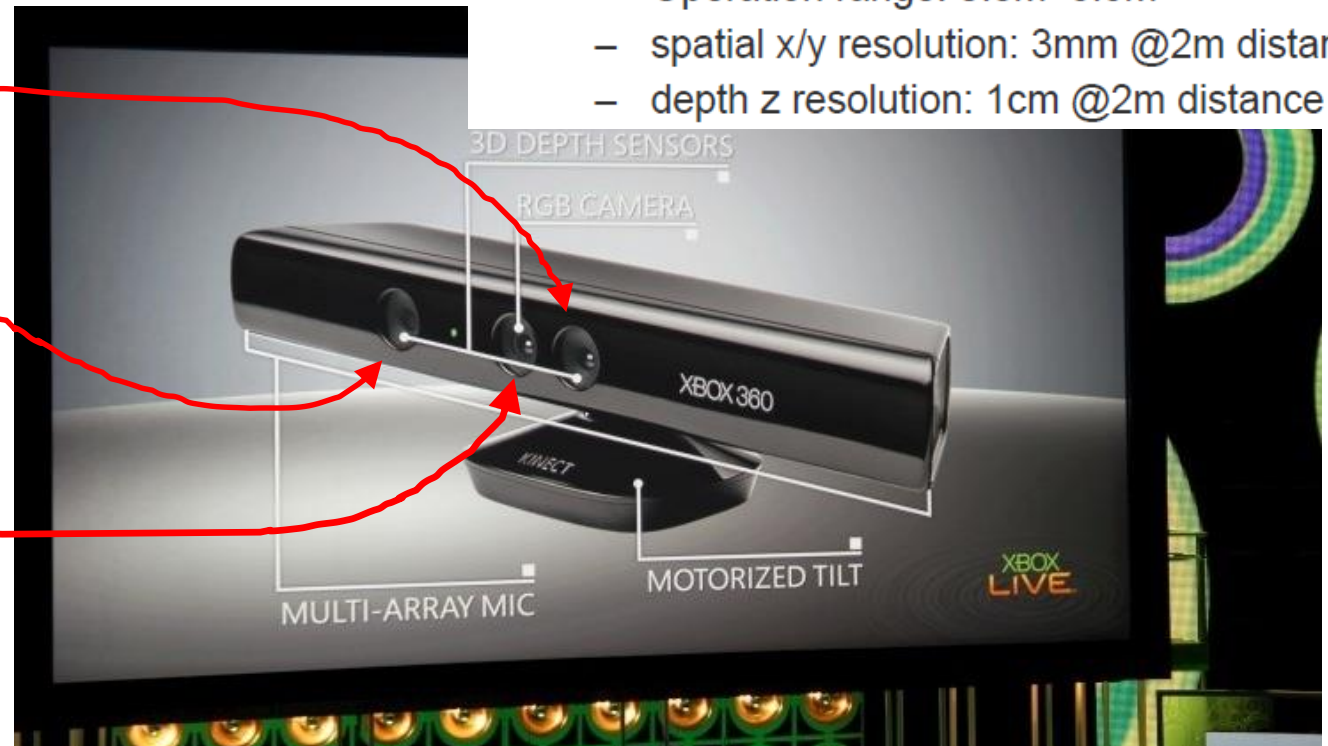
Microsoft Kinect

- Depth resolution: 640x480 px
- RGB resolution: 1600x1200 px
- 60 FPS
- Operation range: 0.8m~3.5m
- spatial x/y resolution: 3mm @2m distance
- depth z resolution: 1cm @2m distance

caméra infrarouge

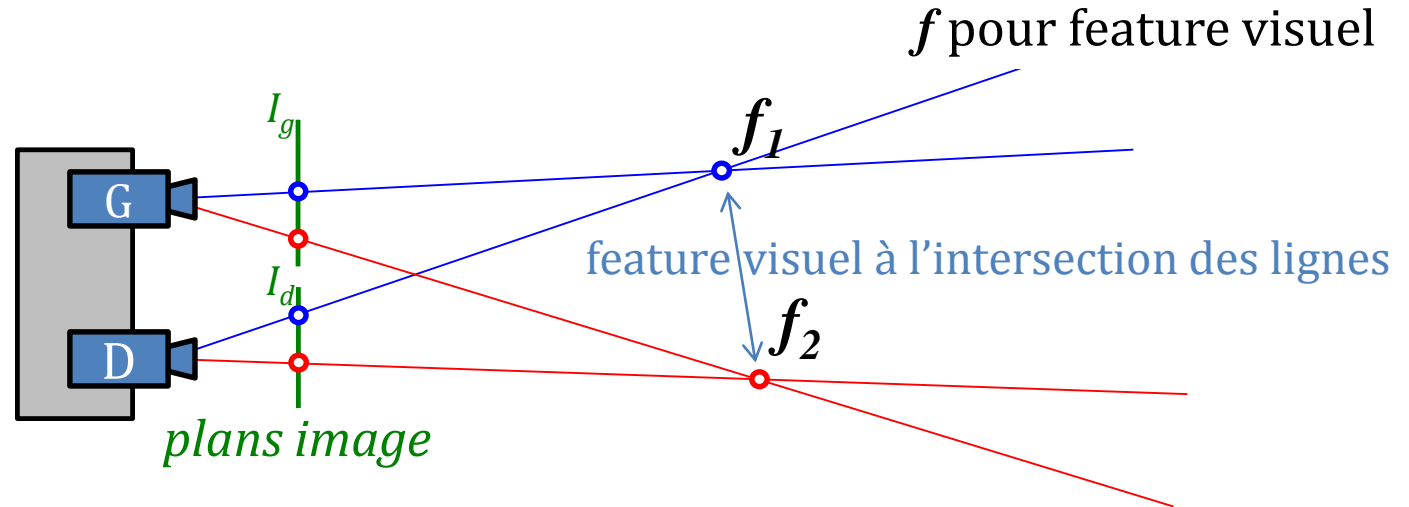
projecteur
infrarouge

caméra RGB

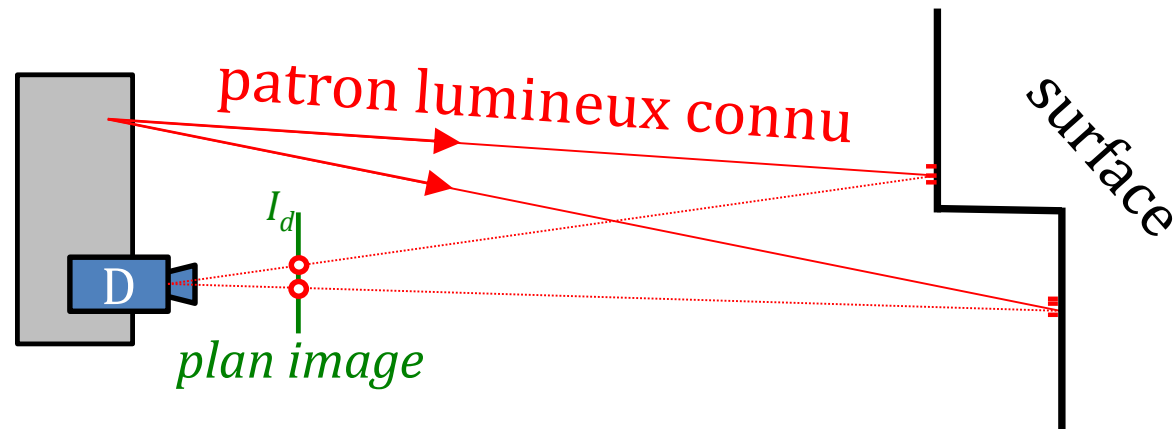


Kinect 1 : stéréo active

Stéréo normale



Stéréo active



Kinect 1 : stéréo active

- Projette patron infrarouge localement distinct (pensez code barre)
 - Moins de problème de correspondance!
- Observe la « disparité » d avec la caméra infrarouge

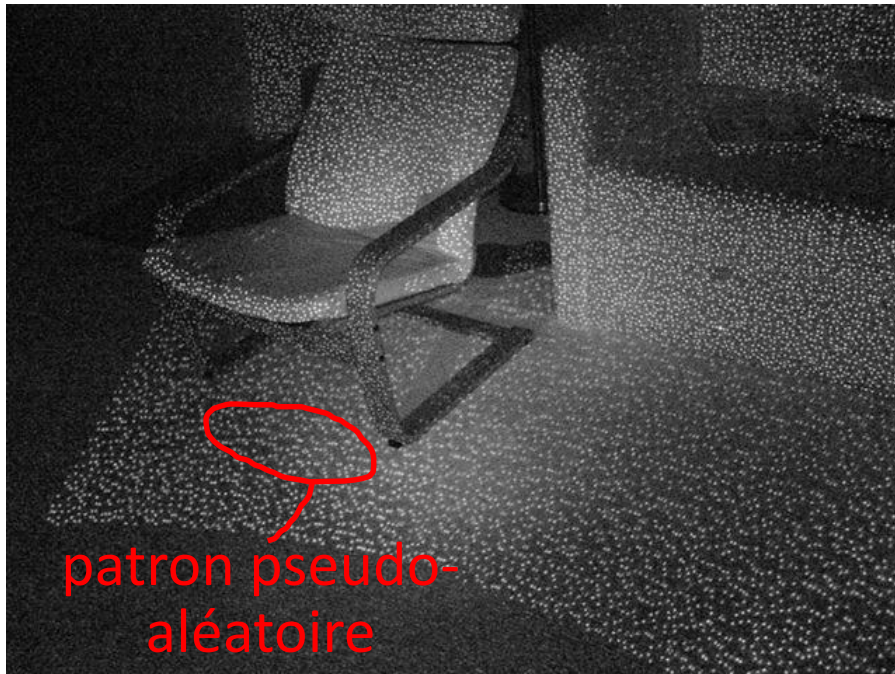
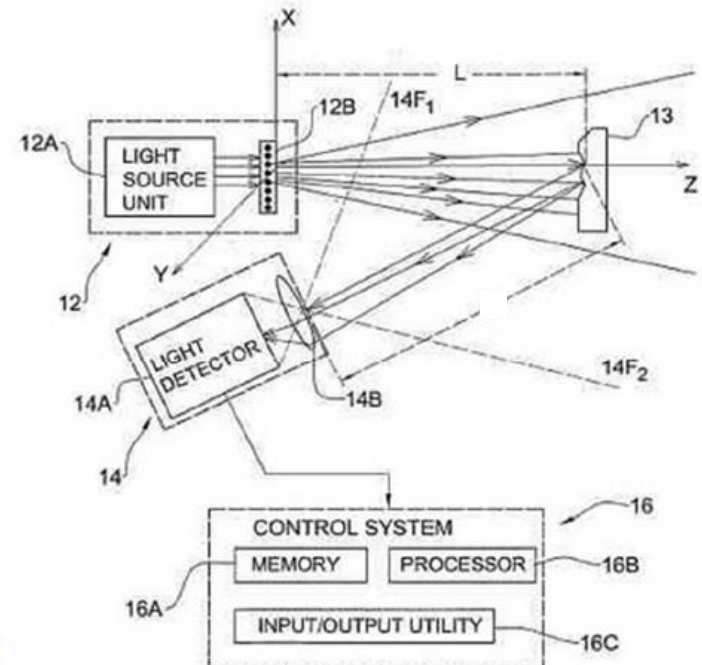


photo prise avec caméra infra-rouge



Kinect 1 : depth image

- Retourne une image de profondeur (*depth image*)
- Pour chaque pixel, on aura la distance en Z (ou **rien**)
- 640x480 pixels, 30 Hz
- Précision dépend de la distance



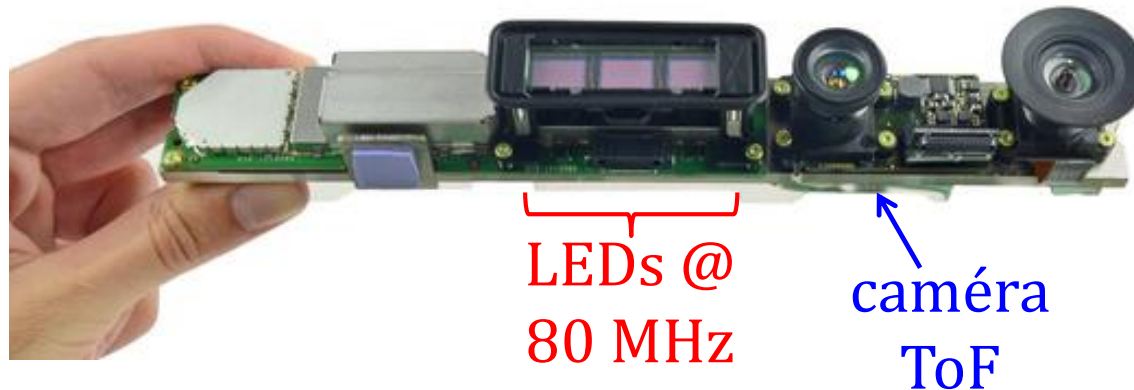
depth image



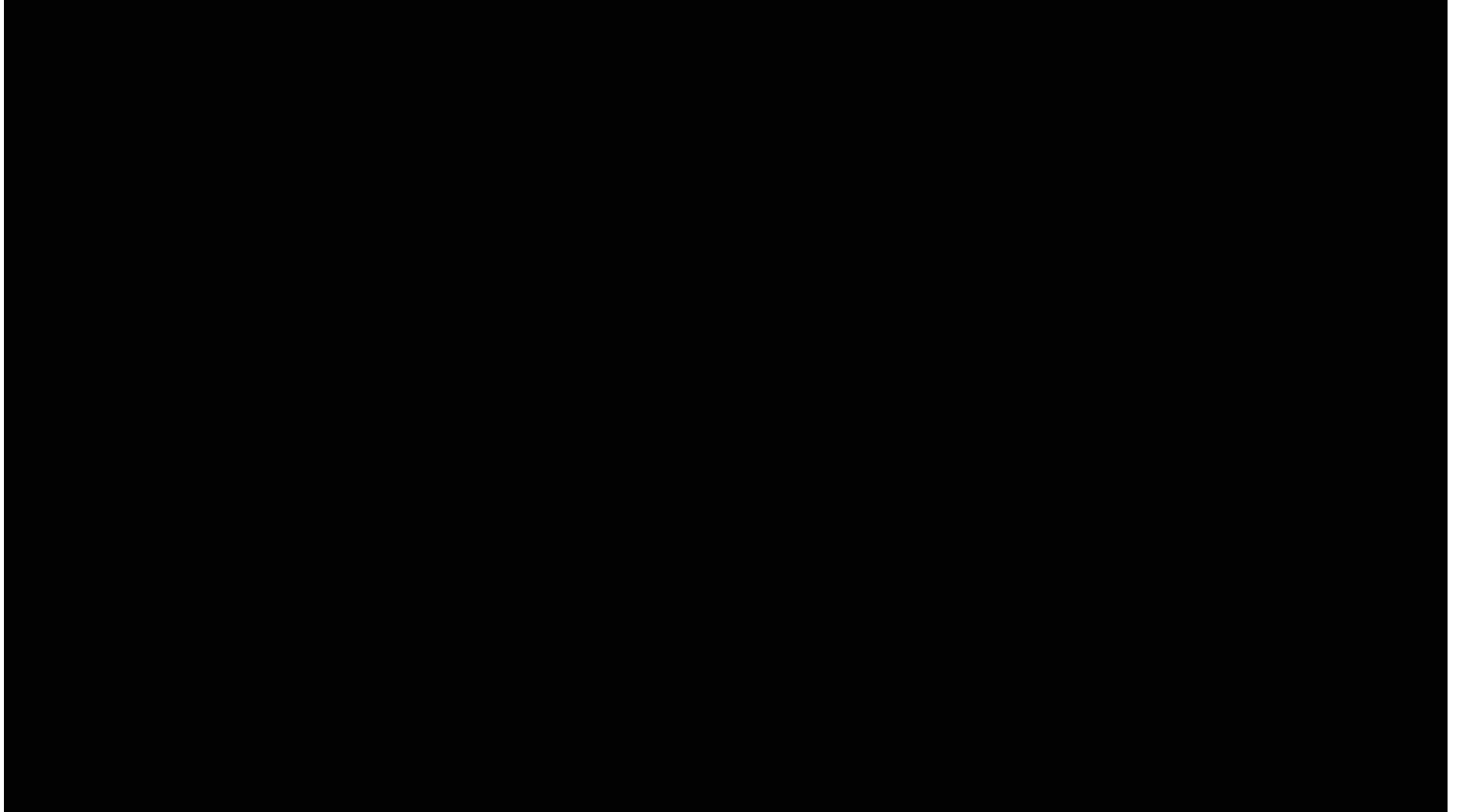
image RGB

Kinect v2

- Technologie différente : basée sur temps de vol (*time of flight : ToF*)
- Mesure la phase entre émission lumineuse des **LEDs** et chaque pixel de la caméra **ToF**



Kinect v2



Autres types de caméras

Caméra omnidirectionnelles

- Caméra standard + miroir convexe = vue 360°



Caméra omnidirectionnelles



- *Ladybug* de *Pointgrey* combine 6 caméras ensemble: vue 360°

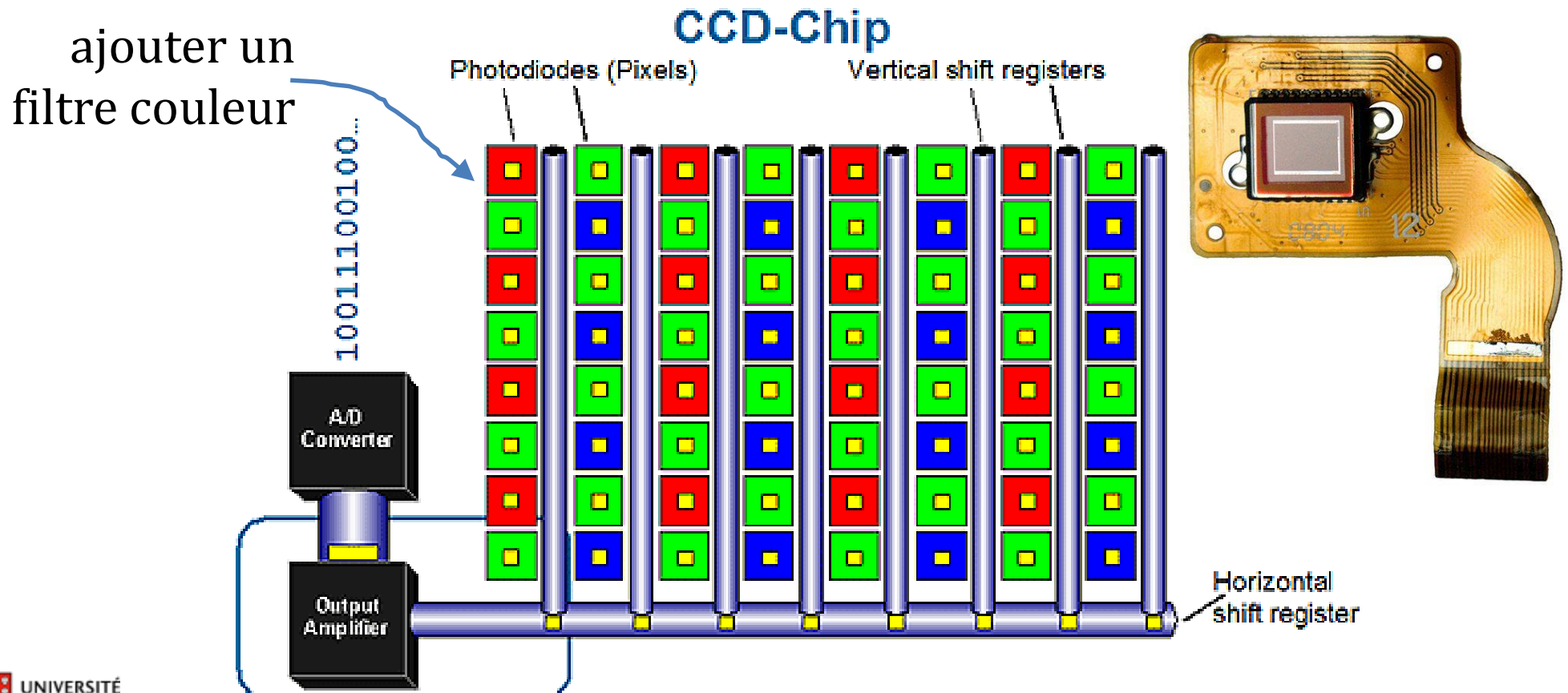


même voiture

Traitement d'image

Capteur image CCD + filtre *Bayer*

- Placé sur plan image (en arrière)
- Pixel CCD nu : sensible à toutes les couleurs



Échantillonnage : *aliasing*

- CCD : échantillonnage dans l'espace
- *Aliasing* arrive si $f_{\text{échantillonnage}} < 2f_{\text{signal}}$

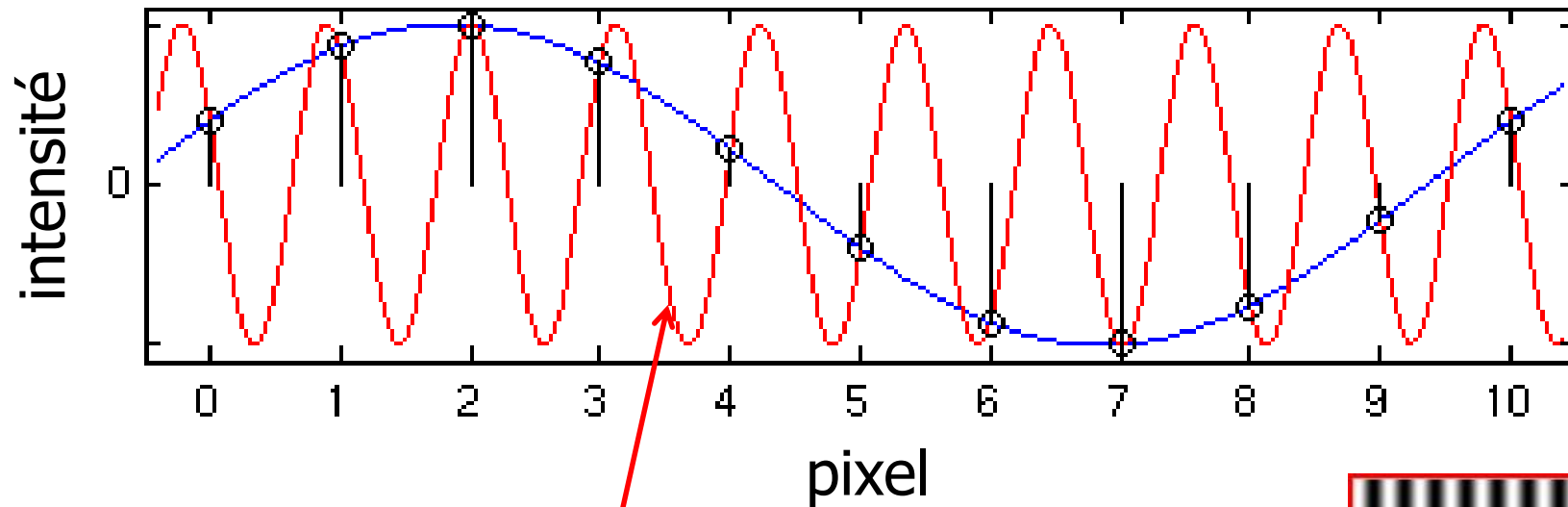
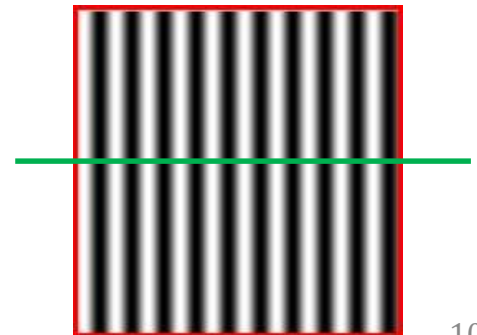


image d'un sinus projeté sur CCD



Aliasing → effet Moiré

- Fréquence spatiale trop élevée



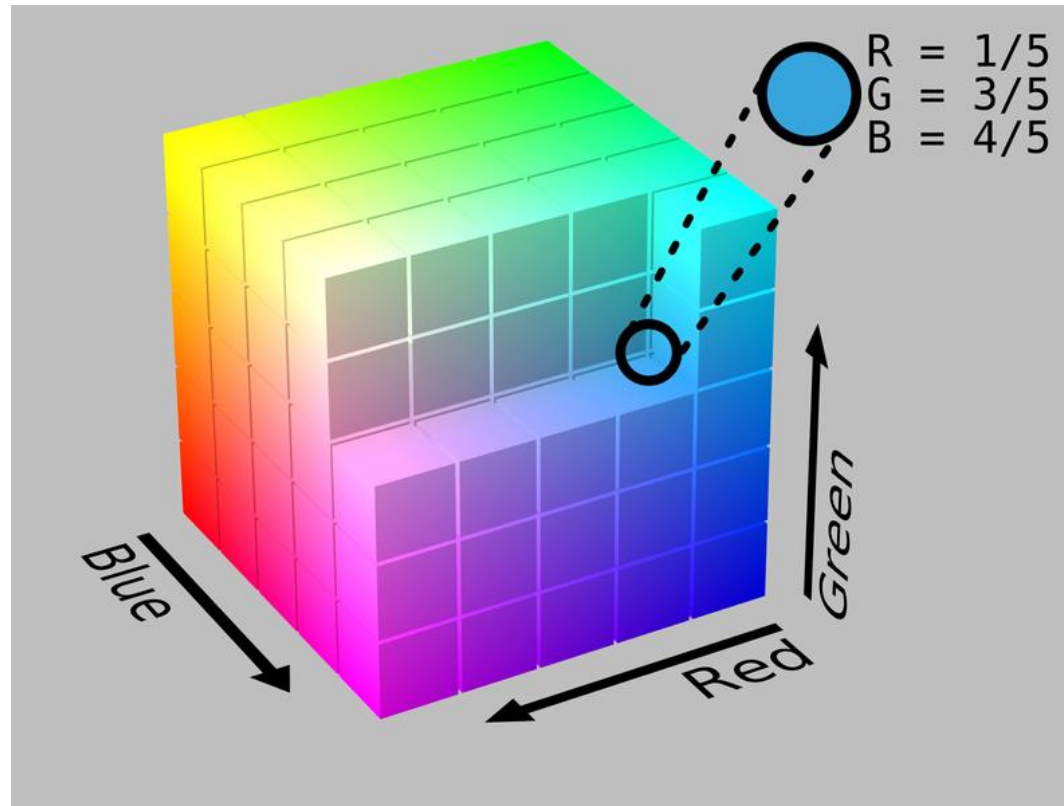
si on prend un
pixel sur deux



(il faut filtrer l'image d'origine
avec un filtre passe-bas, puis
sous-échantillonner)

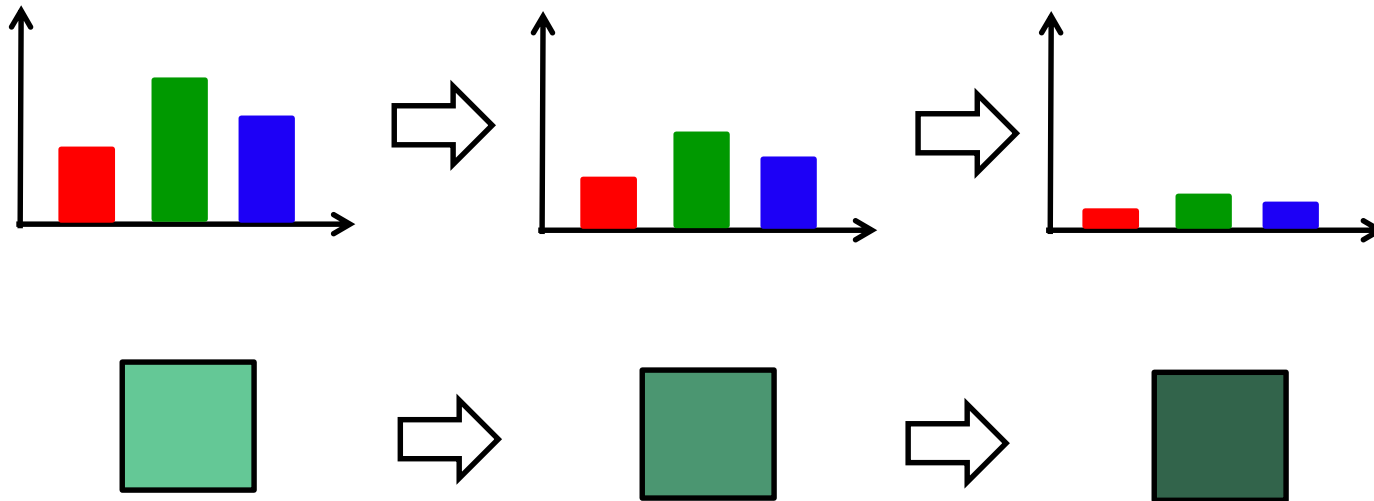
Représentation couleur RGB

- Habitué au RGB : **Red** **Green** **Blue**



Représentation couleur RGB

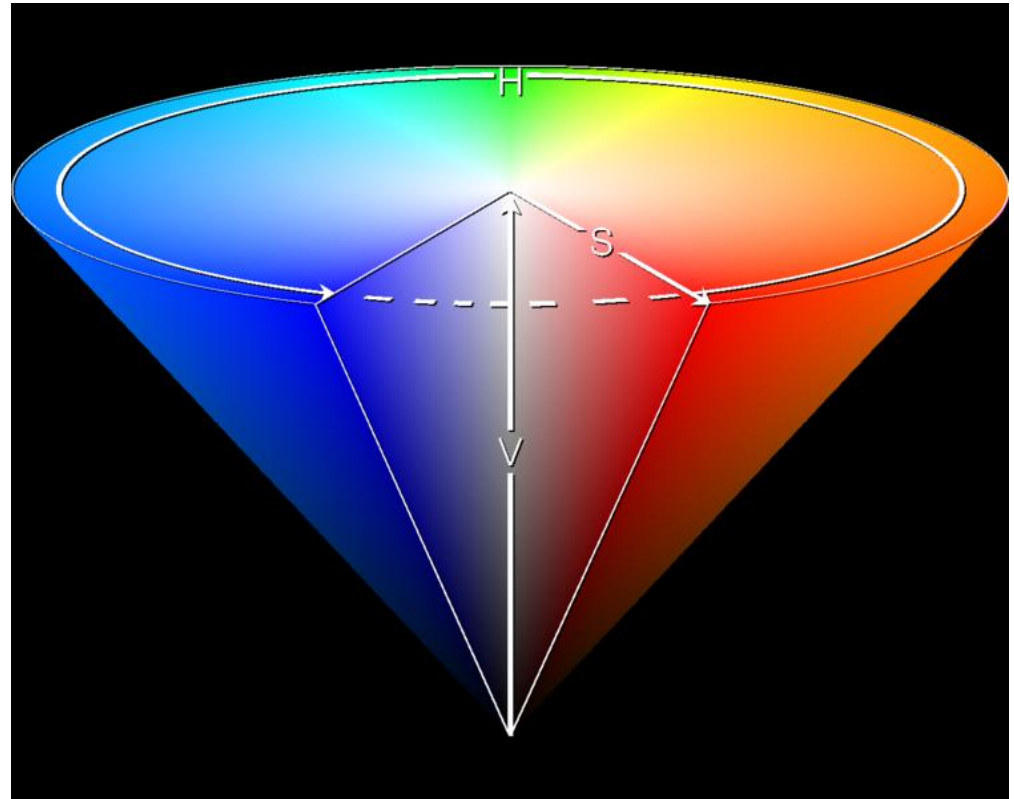
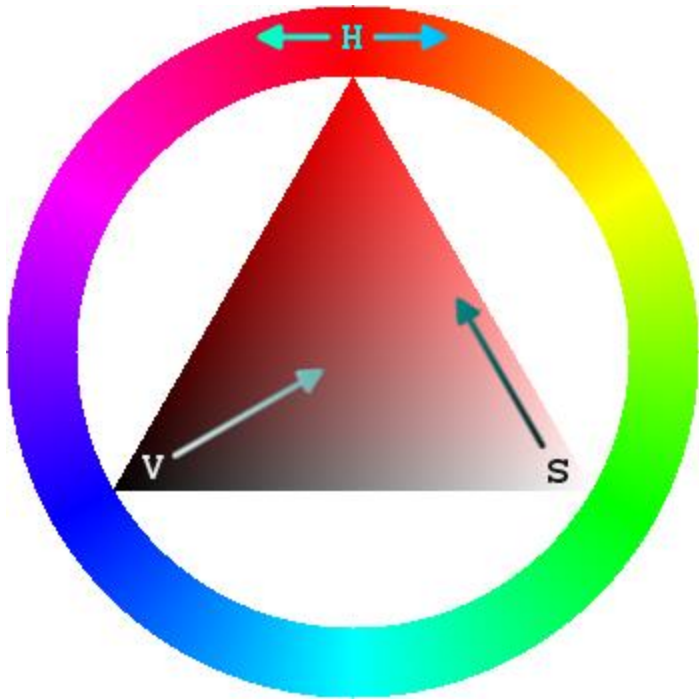
- Que se passe-t-il si l'intensité lumineuse change? (coin ombragé)



même « teinte », mais plus faible « intensité »

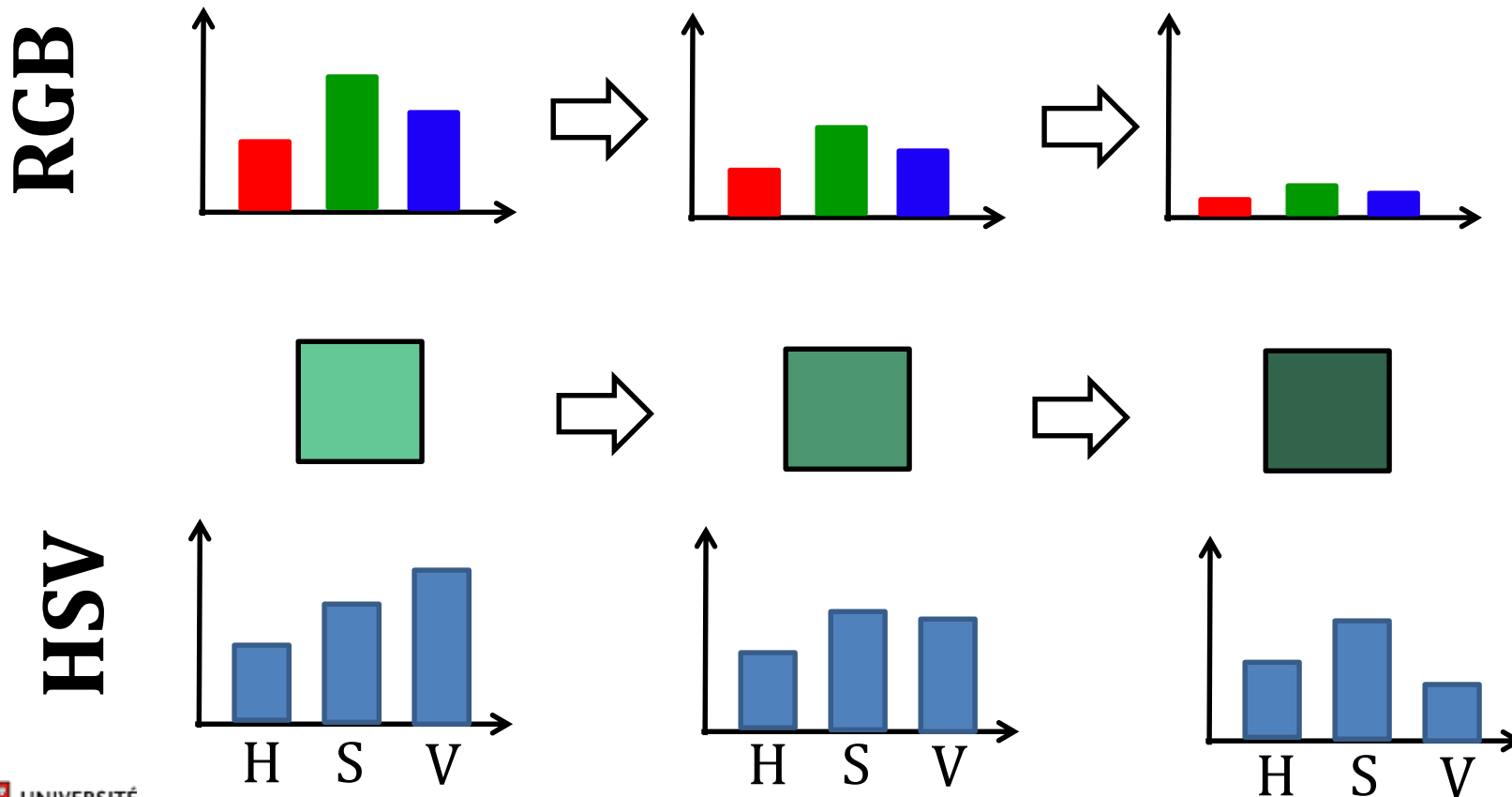
Autre représentation : HSV

- Hue-Saturation-Value
 - encodage plus près de la perception humaine



HSV vs. RGB

- Que se passe-t-il si l'intensité lumineuse change?
(coin ombragé)



Conversion HSV-RGB

RGB → HSV

$$t = \begin{cases} 0, & \text{si } \max = \min \\ (60^\circ \times \frac{g-b}{\max - \min} + 360^\circ) \bmod 360^\circ, & \text{si } \max = r \\ 60^\circ \times \frac{b-r}{\max - \min} + 120^\circ, & \text{si } \max = g \\ 60^\circ \times \frac{r-g}{\max - \min} + 240^\circ, & \text{si } \max = b \end{cases}$$
$$s = \begin{cases} 0, & \text{si } \max = 0 \\ 1 - \frac{\min}{\max}, & \text{sinon} \end{cases}$$
$$v = \max$$

rgb2hsv sur matlab

HSV → RGB

$$t_i = \left\lfloor \frac{t}{60} \right\rfloor \bmod 6$$
$$f = \frac{t}{60} - t_i$$
$$l = v \times (1 - s)$$
$$m = v \times (1 - f \times s)$$
$$n = v \times (1 - (1 - f) \times s)$$
$$(r, g, b) = \begin{cases} (v, n, l), & \text{si } t_i = 0 \\ (m, v, l), & \text{si } t_i = 1 \\ (l, v, n), & \text{si } t_i = 2 \\ (l, m, v), & \text{si } t_i = 3 \\ (n, l, v), & \text{si } t_i = 4 \\ (v, l, m), & \text{si } t_i = 5 \end{cases}$$

hsv2rgb sur matlab

« One line trick for vision »

- Retrouver l'apparence réelle des objets dans les milieux extérieurs (soleil)



(a) Image with shadows



(b) Shadow invariant image

$$F = \log(G) - \alpha \log(R) + \beta \log(B)$$

Dealing with Shadows: Capturing Intrinsic Scene Appearance for Image-based Outdoor Localisation, P. Corke et al., IROS 2013.

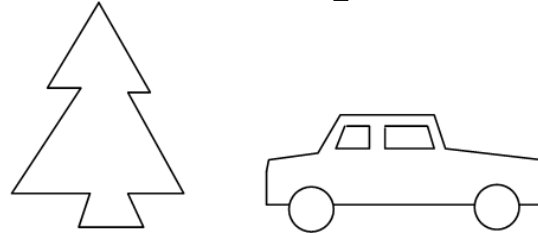
Beyond a Shadow of a Doubt: Place Recognition with Colour-Constant Images, K. MacTavish et al., FSR 2015.

Trouver les sections « intéressantes »

- Traiter l'image complète → temps calcul \$\$\$
- Chercher les points saillants/intéressants
 - équivalent attention visuelle humaine
- Point intéressant:
 - stable (aux changements d'angle/lumière)
 - informatif
 - notion de *distinct du pourtour*

Détection bord (*edge detection*)

- Bords possèdent beaucoup « d'information »



- Certains bords sont plus informatifs que d'autres...



même
longueur
totale de
tracé



I. Biederman. Recognition-by-components: A theory of human image understanding. *Psychological Review*, 4(2):115-147, 1987.

Détection bord (*edge detection*)

- Définition d'un bord : variation spatiale rapide d'intensité lumineuse dans l'image I

$$\frac{\partial I}{\partial x}, \frac{\partial I}{\partial y} \text{ grand, } \nabla I = \left(\frac{\partial I}{\partial x}, \frac{\partial I}{\partial y} \right)$$

- Difficile à extraire *parfaitement*
 - Notamment à cause du bruit dans l'image
 - Opération de dérivée **AUGMENTE** l'impact du bruit

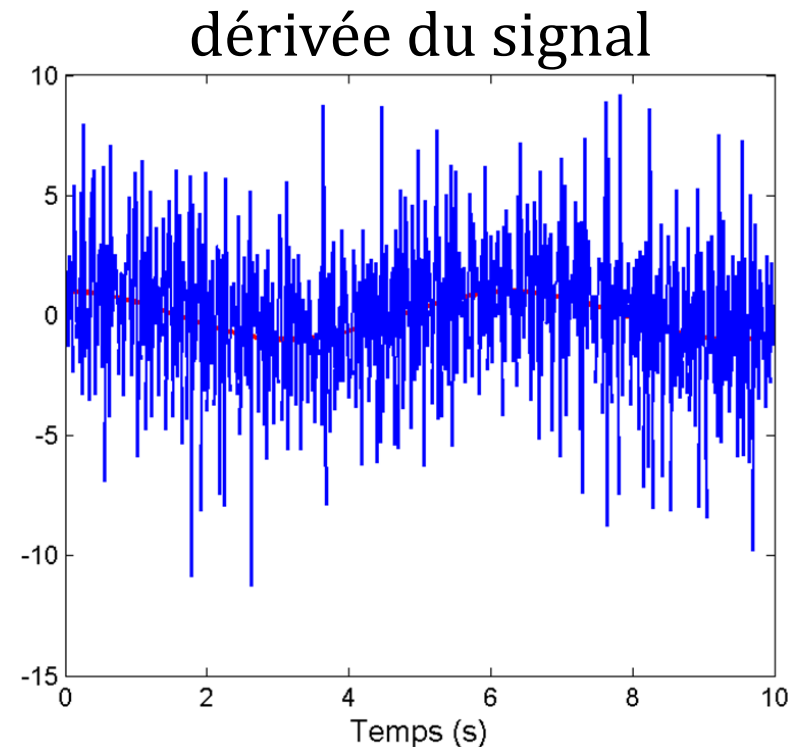
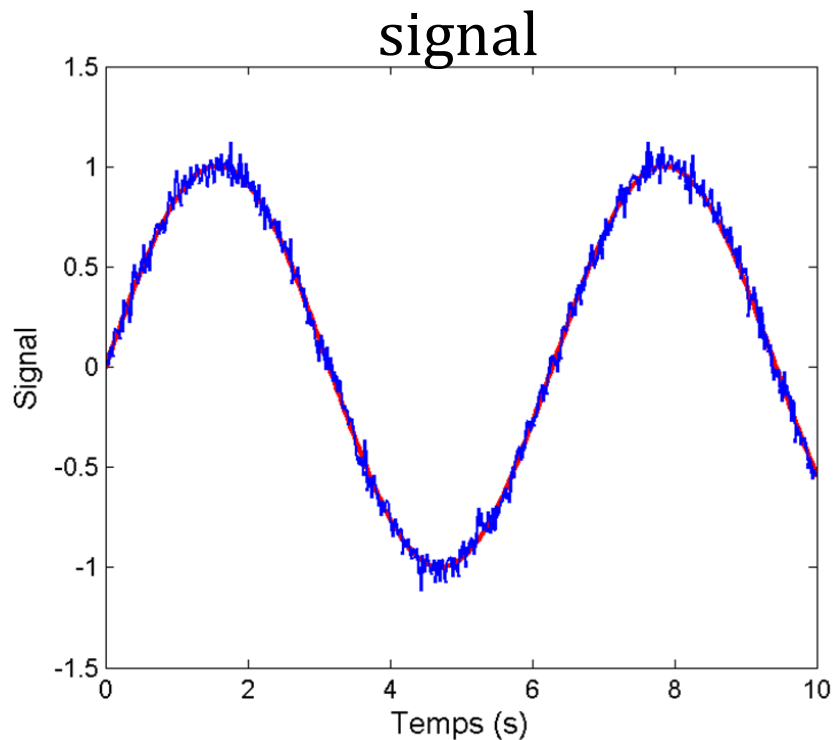


Amplification du bruit par la dérivée

- Signal corrompu avec bruit gaussien $N(0, \sigma^2)$

— signal

— signal + bruit $\sigma=0.05$



Moyenne : réduire le bruit

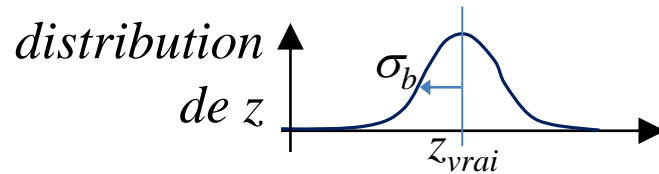
- Soit la mesure suivante :

$$z = z_{\text{vrai}} + \varepsilon_b,$$

\uparrow
constante

$$\varepsilon_b \sim N(0, \sigma_b^2)$$

ε_b pigé dans une distribution gaussienne non-biaisée



- Si je prends **1** mesure, $\sigma_z^2 = \sigma_b^2$

- Si bruit est une variable aléatoire *iid* *iid : indépendantes et identiquement distribuées*
 - valeur du bruit à $t+1$ est indépendante valeur à t

- Prendre la moyenne de **2** mesures $Z_{\text{moy}} = \frac{1}{2}Z_1 + \frac{1}{2}Z_2$

$$\text{Var}(aX + bY) = a^2 \text{Var}(X) + b^2 \text{Var}(Y) + 2ab \text{Cov}(X, Y)$$

$$\sigma_{\text{moy}}^2 = \text{var}\{Z_{\text{moy}}\} = \text{var}\left\{\frac{1}{2}Z_1 + \frac{1}{2}Z_2\right\} = \left(\frac{1}{2}\right)^2 \text{var}\{Z_1\} + \left(\frac{1}{2}\right)^2 \text{var}\{Z_2\} = 2\left(\frac{1}{2}\right)^2 \sigma_b^2 = \frac{1}{2} \sigma_b^2$$

- De façon générale, pour **N** mesures moyennées

$$\sigma_{\text{moy}}^2 = \frac{1}{N} \sigma_b^2 \quad \Rightarrow \quad \sigma_{\text{moy}} = \frac{1}{\sqrt{N}} \sigma_b$$

Sobel edge detector, avec bruit

approxime le gradient

$$\Delta_1 = \begin{bmatrix} -1 & 0 & 1 \\ -2 & 0 & 2 \\ -1 & 0 & 1 \end{bmatrix} \quad \Delta_2 = \begin{bmatrix} 1 & 2 & 1 \\ 0 & 0 & 0 \\ -1 & -2 & -1 \end{bmatrix}$$

$$Sobel = \sqrt{\Delta_1^2 + \Delta_2^2}$$

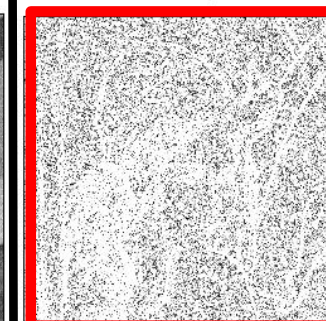
207	210	195	63	57	56	59
204	212	197	82	76	74	75
202	198	202	72	65	67	63
209	201	187	78	69	71	64

$\Delta_1(x,y)$

image originale

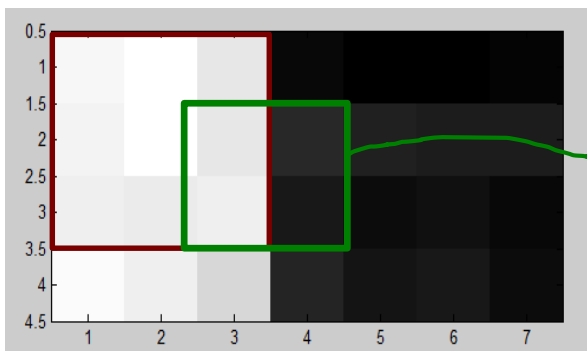


image bruitée



amplification
du bruit

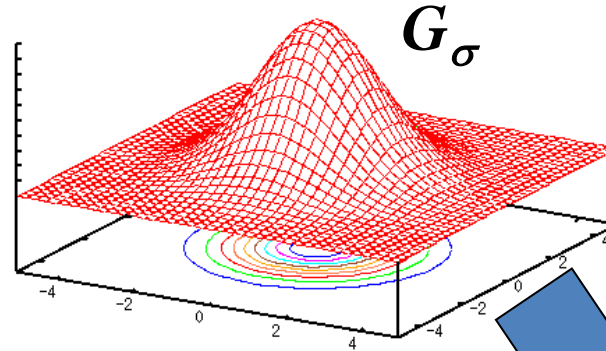
bord ==
grande
valeur abs



Filtrage image : flou gaussien G_σ



convolution



ici on veut volontairement créer un flou pour réduire l'impact du bruit

...vient faire la **moyenne pondérée** avec pixels voisins...

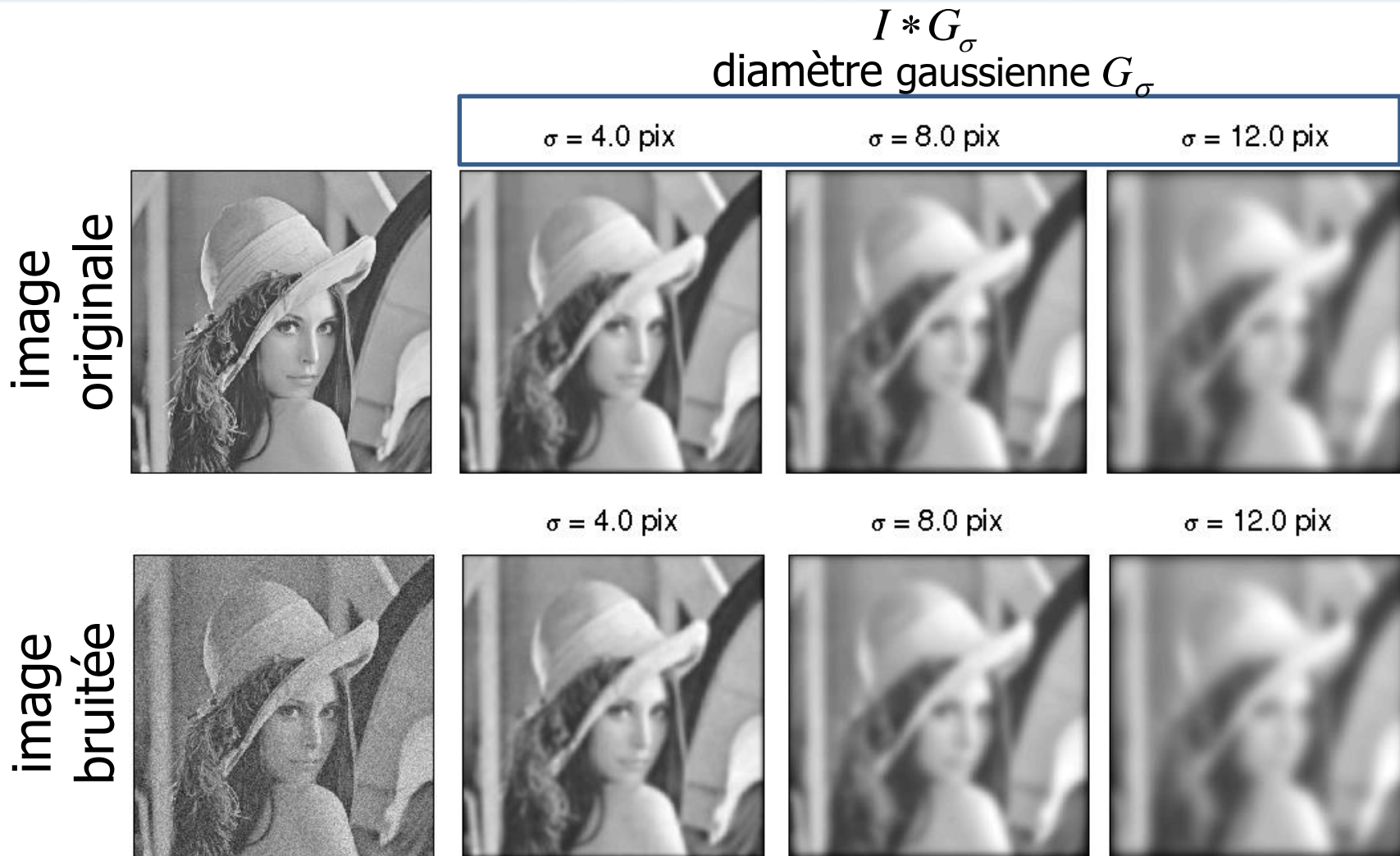
pixel loin a moins d'influence

Gaussian Window

w1 .004	w2 .015	w3 .026	w4 015	w5 .004
w6 015	w7 .059	w8 .095	w9 .059	w10 015
w11 .026	w12 .095	w13 .15	w14 .095	w15 .026
w16 015	w17 .059	w18 .095	w19 .059	w20 015
w21 .004	w22 015	w23 .026	w24 015	w25 .004



Filtrage flou : « lissage » du bruit



gaussienne plus large → image plus floue
(Convolution est comme une somme pondérée)

Sobel edge detector, avec bruit

approxime le gradient

$$\Delta_1 = \begin{bmatrix} -1 & 0 & 1 \\ -2 & 0 & 2 \\ -1 & 0 & 1 \end{bmatrix} \quad \Delta_2 = \begin{bmatrix} 1 & 2 & 1 \\ 0 & 0 & 0 \\ -1 & -2 & -1 \end{bmatrix}$$

$$Sobel = \sqrt{\Delta_1^2 + \Delta_2^2}$$

image
originale



$\sigma = 0.0$ pix



$\sigma = 4.0$ pix



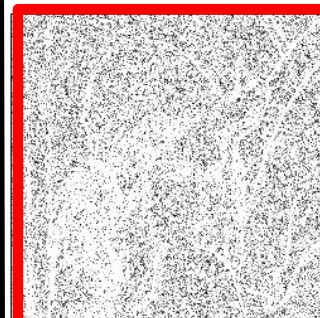
$\sigma = 8.0$ pix



image
bruitée



$\sigma = 0.0$ pix



$\sigma = 4.0$ pix



$\sigma = 8.0$ pix



inutile sans filtrage...

Repères visuels naturels

Repères naturels

- Pas tous les endroits dans une images qui sont utiles pour la localisation
- Détecter des endroits « saillants » dans l'image, comme des coins : **keypoint**
- Calculer une signature visuelle autour de ce point (**descripteur**)
- *keypoint* + descripteur = *feature*
- Pourquoi ne pas calculer une signature autour de chaque pixel? Temps de calcul!

Détecteurs de coins *(keypoint detectors)*

Keypoint

- Diffère de ses voisins en terme de texture, couleur et/ou intensité (*distinctiveness*)
- Détection répétable (*repeatability*) d'une image à l'autre malgré des changements
 - de points de vue (rotation/translation/affine¹)
 - d'illumination
- Rapide à calculer (car on parcourt toute l'image pour les trouver)

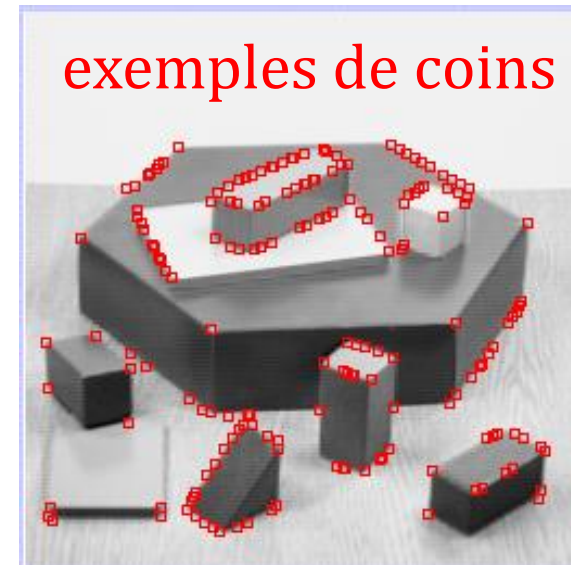
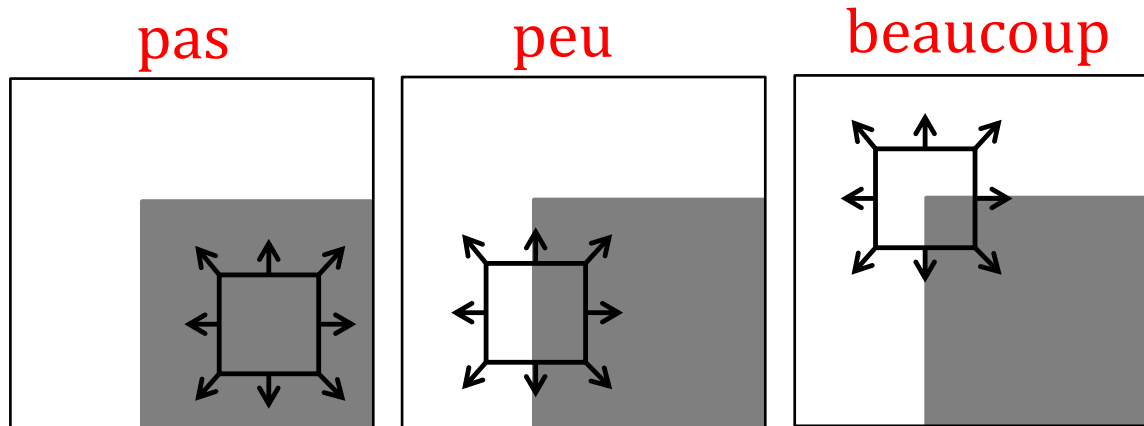
¹transformation qui préserve les points, droites, plans et parallélisme (rotation, shear, translation, etc.)

Exemple : *Moravec interest operator*

- Utilise Sum-of-Squared Difference (SSD) comme mesure de similarité entre deux patches I_a et I_b :

$$SSD(I_a, I_b) = \sum_{i, j \in patch} (I_a(i, j) - I_b(i, j))^2$$

- Cherche un endroit où le SSD par rapport aux patches voisins est localement maximal :

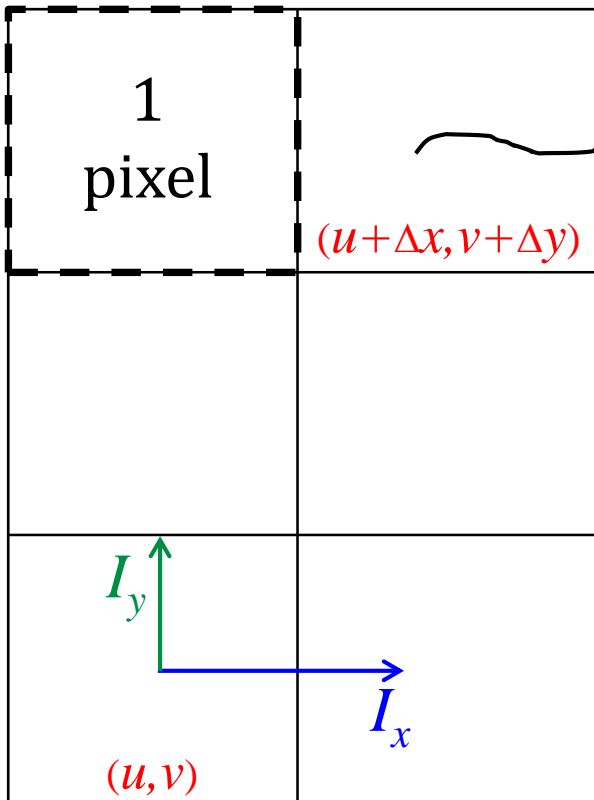


Harris corner detector

- Approximation par Taylor :

– gradients (calculé avec Sobel) $I_x(i, j) = \frac{\partial}{\partial x} I(i, j), \quad I_y(i, j) = \frac{\partial}{\partial y} I(i, j)$

Note : il est un peu fâcheux que les livres utilisent I_x, I_y comme un gradient, car ils rappellent plus une intensité (image I)



$$I(u + \Delta x, v + \Delta y) \approx I(u, v) + I_x(u, v)\Delta x + I_y(u, v)\Delta y$$

Basé sur le changement d'apparence SSD.

Pour une paire de pixels :

$$(I(u + \Delta x, v + \Delta y) - I(u, v))^2 \approx (I(u, v) + I_x(u, v)\Delta x + I_y(u, v)\Delta y - I(u, v))^2$$

$$\approx (I_x(u, v)\Delta x + I_y(u, v)\Delta y)^2$$

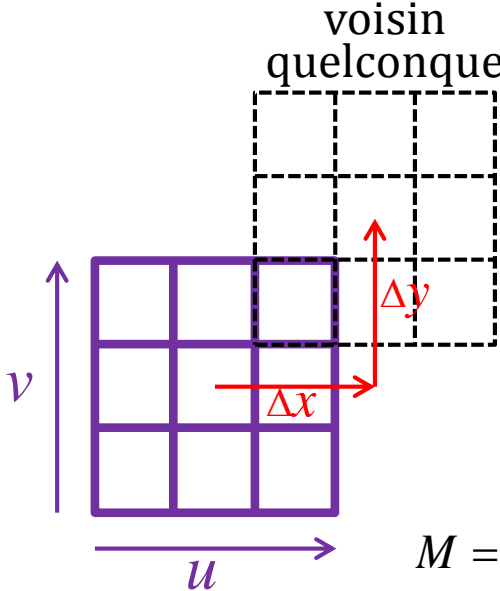
$$\approx I_x(u, v)^2 \Delta x^2 + 2I_x(u, v)I_y(u, v)\Delta x\Delta y + I_y(u, v)^2 \Delta y^2$$

$$\approx [\Delta x \quad \Delta y] \begin{bmatrix} I_x(u, v)^2 & I_x(u, v)I_y(u, v) \\ I_x(u, v)I_y(u, v) & I_y(u, v)^2 \end{bmatrix} \begin{bmatrix} \Delta x \\ \Delta y \end{bmatrix}$$

Harris corner detector

- On regarde la distribution des SSD des patches voisines

Pour un déplacement Δx , Δy , le changement d'apparence SSD d'une patch au complet est



voisin quelconque

$$SSD(\Delta x, \Delta y) \approx \begin{bmatrix} \Delta x & \Delta y \end{bmatrix} \left(\sum_{u,v} \begin{bmatrix} I_x(u,v)^2 & I_x(u,v)I_y(u,v) \\ I_x(u,v)I_y(u,v) & I_y(u,v)^2 \end{bmatrix} \right) \begin{bmatrix} \Delta x \\ \Delta y \end{bmatrix}$$

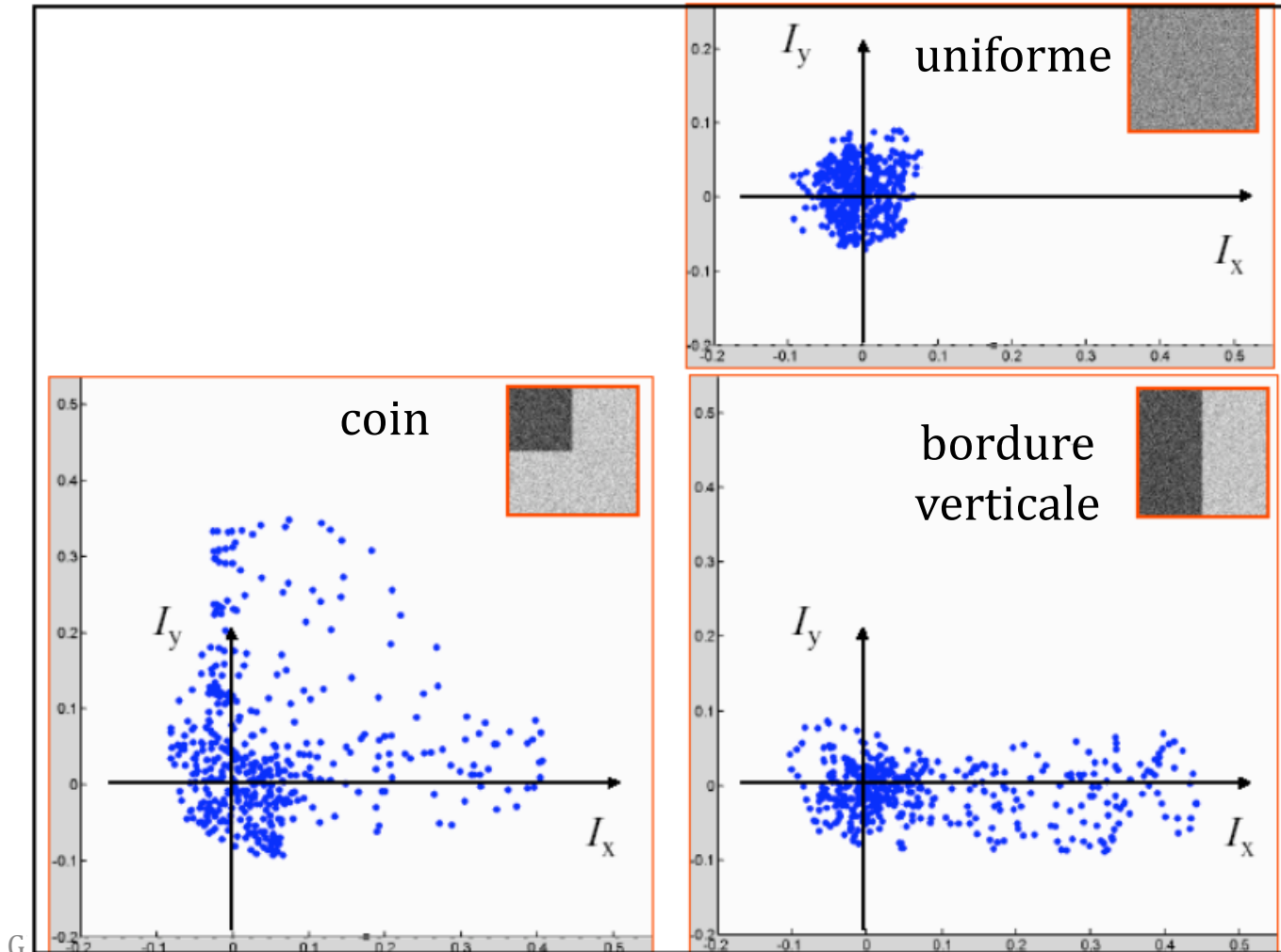
$$SSD(\Delta x, \Delta y) \approx \begin{bmatrix} \Delta x & \Delta y \end{bmatrix} M \begin{bmatrix} \Delta x \\ \Delta y \end{bmatrix}$$

$$M = \sum_{u,v} \begin{bmatrix} I_x(u,v)^2 & I_x(u,v)I_y(u,v) \\ I_x(u,v)I_y(u,v) & I_y(u,v)^2 \end{bmatrix}$$

Nous donne une idée de la variabilité locale d'une patch

Harris corner detector

- Distribution des dérivées I_x, I_y



Adapté de
Robert Collins,
Penn State

Harris corner detector

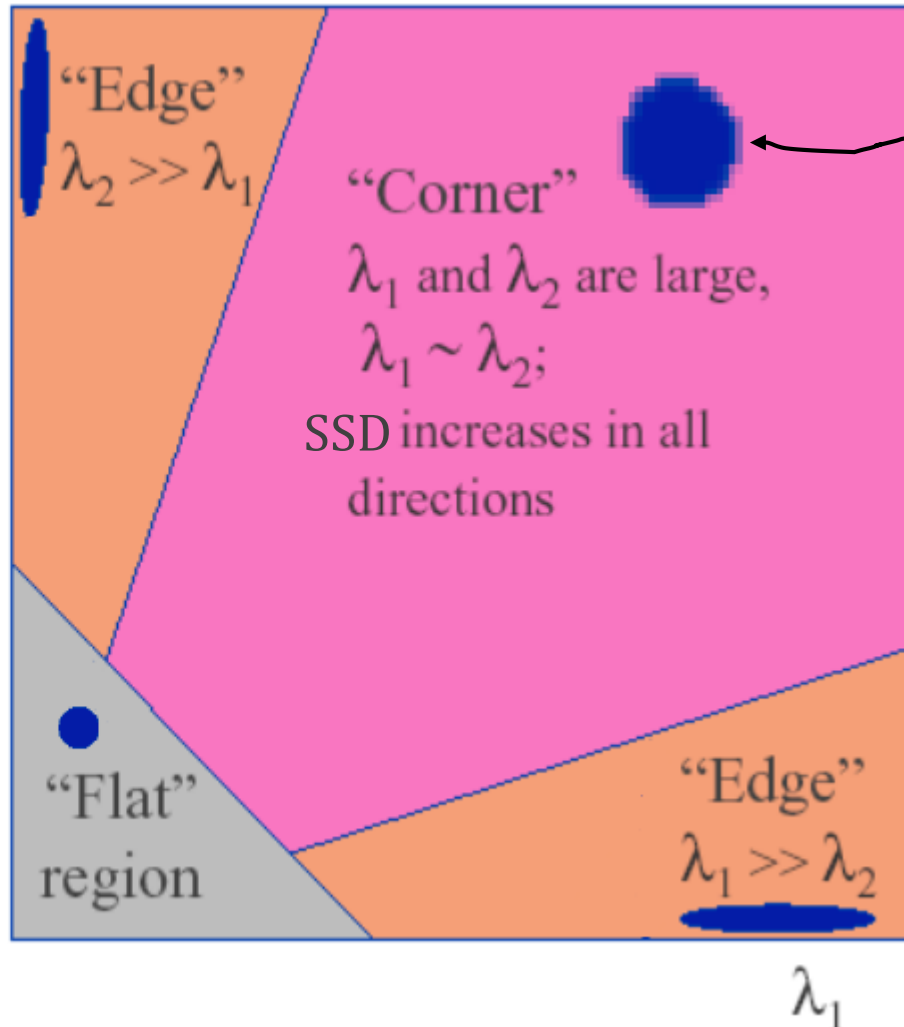
- Distribution des valeurs propres λ_1, λ_2 de M

$$M = R^{-1} \begin{bmatrix} \lambda_1 & 0 \\ 0 & \lambda_2 \end{bmatrix} R$$

(car M est symétrique)

Classification of image points using eigenvalues of M:

λ_1 and λ_2 are small;
SSD is almost constant
in all directions



forme de la
distribution
des I_x, I_y

Adapté de
Robert Collins,
Penn State

Harris corner detection : Algorithme

```
SobelX = [-1 0 1; -2 0 2; -1 0 1];
SobelY = [1 2 1; 0 0 0; -1 -2 -1];
Ix = conv2(SobelX,I);
Iy = conv2(SobelY,I);
```

```
Ix2 = Ix.^2;
Iy2 = Iy.^2;
Ixy = Ix.*Iy;
```

```
G = fspecial('gaussian', [5 5], 1);
Sx2 = conv2(Ix2,G);
Sy2 = conv2(Iy2,G);
Sxy = conv2(Ixy,G);
```

```
G=0.0030 0.0133 0.0219 0.0133 0.0030
0.0133 0.0596 0.0983 0.0596 0.0133
0.0219 0.0983 0.1621 0.0983 0.0219
0.0133 0.0596 0.0983 0.0596 0.0133
0.0030 0.0133 0.0219 0.0133 0.0030
```

```
k = 0.1; % Parametre kappa
R = Sx2.*Sy2-Sxy.^2-k*((Sx2+Sy2).^2);
```

1. Compute x and y derivatives of image

$$I_x = G_\sigma^x * I \quad I_y = G_\sigma^y * I$$

2. Compute products of derivatives at every pixel

$$I_{x2} = I_x \cdot I_x \quad I_{y2} = I_y \cdot I_y \quad I_{xy} = I_x \cdot I_y$$

3. Compute the sums of the products of derivatives at each pixel

$$S_{x2} = G_{\sigma^1} * I_{x2} \quad S_{y2} = G_{\sigma^1} * I_{y2} \quad S_{xy} = G_{\sigma^1} * I_{xy}$$

4. Define at each pixel (x, y) the matrix

$$H(x, y) = \begin{bmatrix} S_{x2}(x, y) & S_{xy}(x, y) \\ S_{xy}(x, y) & S_{y2}(x, y) \end{bmatrix}$$

5. Compute the response of the detector at each pixel

$$R = \text{Det}(H) - k(\text{Trace}(H))^2$$

6. Threshold on value of R . Compute nonmax suppression.

une convolution peut
être vue comme une
somme pondérée

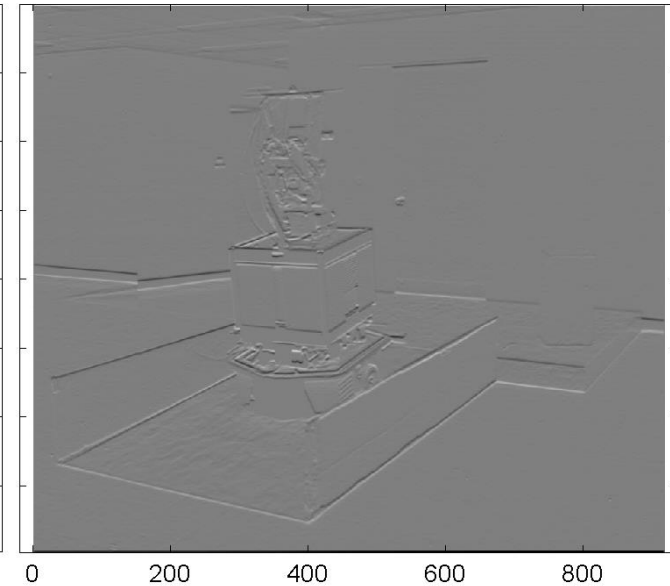
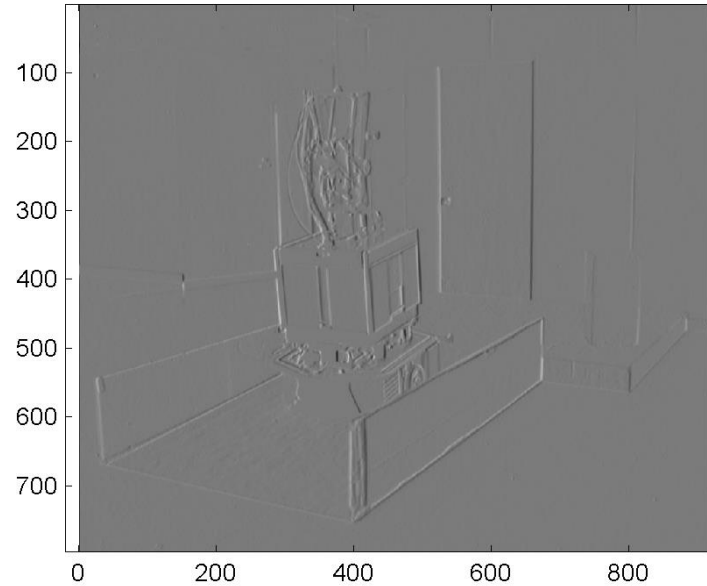
critère relié aux
valeurs propres
(rapide à calculer)

```
[CornerX CornerY] = find(R>10000000);
```

Résultats Harris

lx

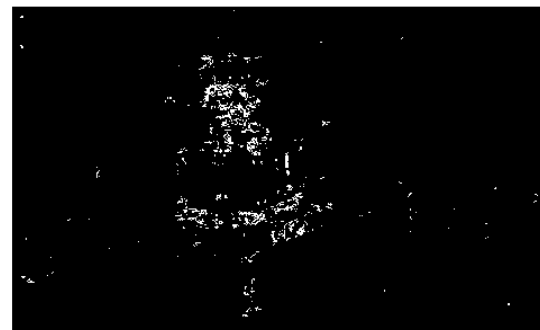
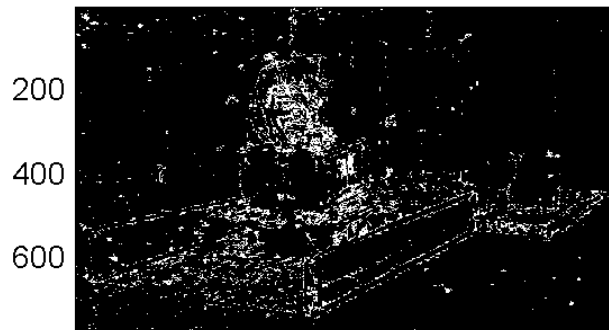
ly



$R > 1e4$

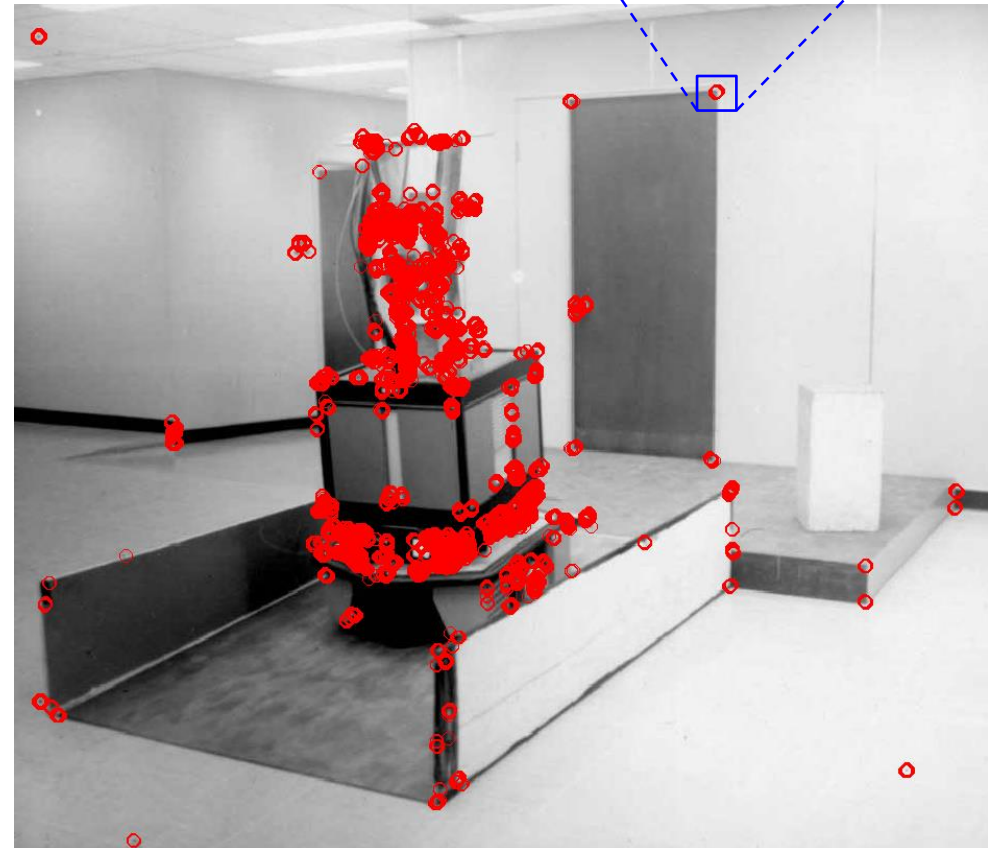
$R > 1e6$

$R > 1e7$



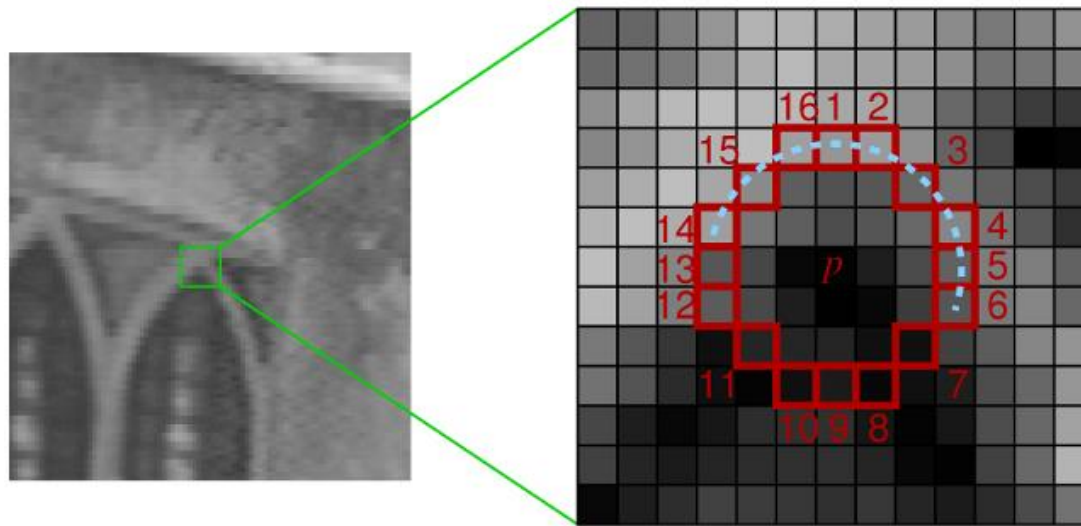
Résultats Harris (sans nonmax suppr.)

La suppression des non-maxima locaux retirerait ces doublons pour n'en garder qu'un seul



FAST : Features from Accelerated Segment Test

- Autre détecteur de coins
- Cherche un **arc continu** de N ou + pixels point sur l'arc
 - un peu plus intense que le point central p : $I(x) > (I(p) + t)$
 - ou
 - un peu moins intense que le point central p : $I(x) < (I(p) - t)$



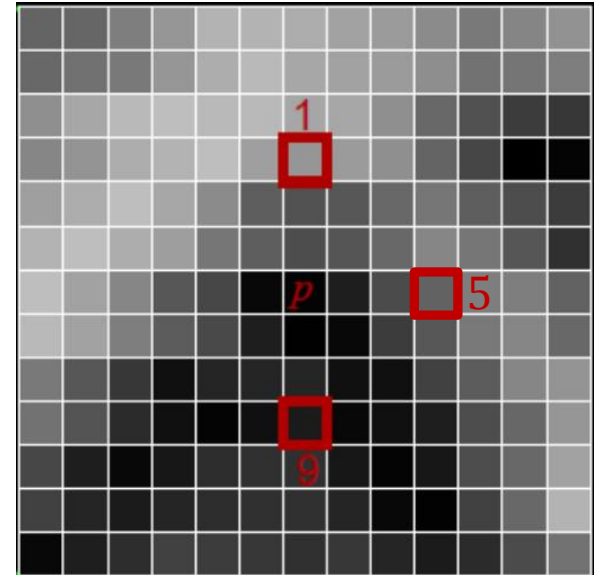
t : threshold

© Edward Rosten

Détecteur FAST

- Pour $N \geq 12$, sur rayon de 3 pixels, rapidité!
 - on test si 1,9 respecte le critère
 - puis 5...
 - puis 13.

- Si on a trois points qui respectent le critère, on test tous les 12 autres points restants



- Suppression des non-maxima

locaux du score
$$V = \max \begin{cases} \sum (\text{pixel values} - p) & \text{if } (\text{value} - p) > t \\ \sum (p - \text{pixel values}) & \text{if } (p - \text{value}) > t \end{cases}$$

(somme des différences absolues entre le pixel p et tous les pixels de l'arc continu)

FAST est 20x plus rapide que Harris

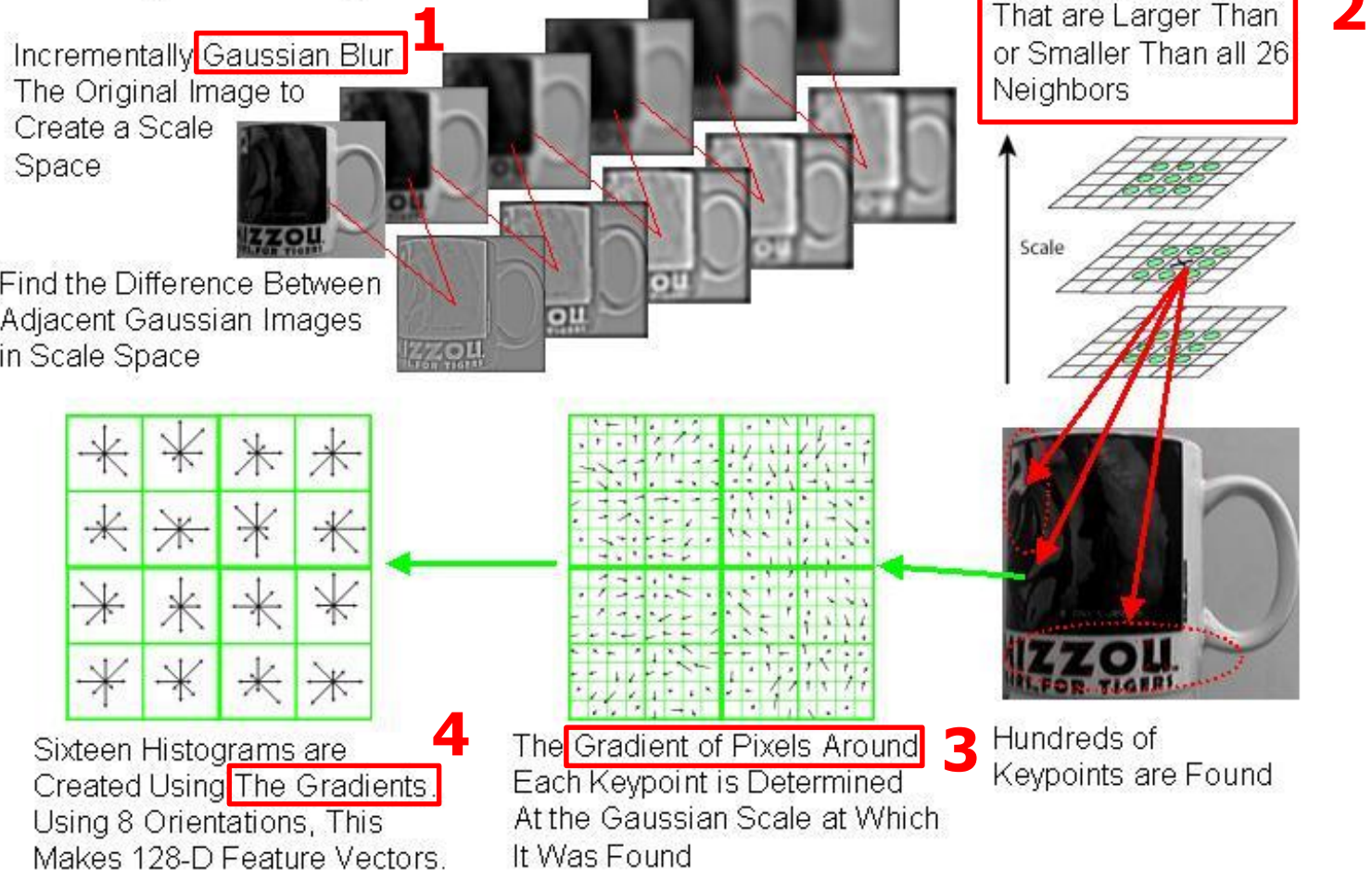
Repères naturels (descripteurs)

Descripteurs

- Première étape : identifier les keypoints
- Maintenant on veut leur attribuer une signature : descripteur
- Idéalement, descripteurs stables peu importe les changements d'orientation et d'échelle
- Existents plusieurs :
 - SIFT
 - SURF
 - ORB (basé sur BRIEF)

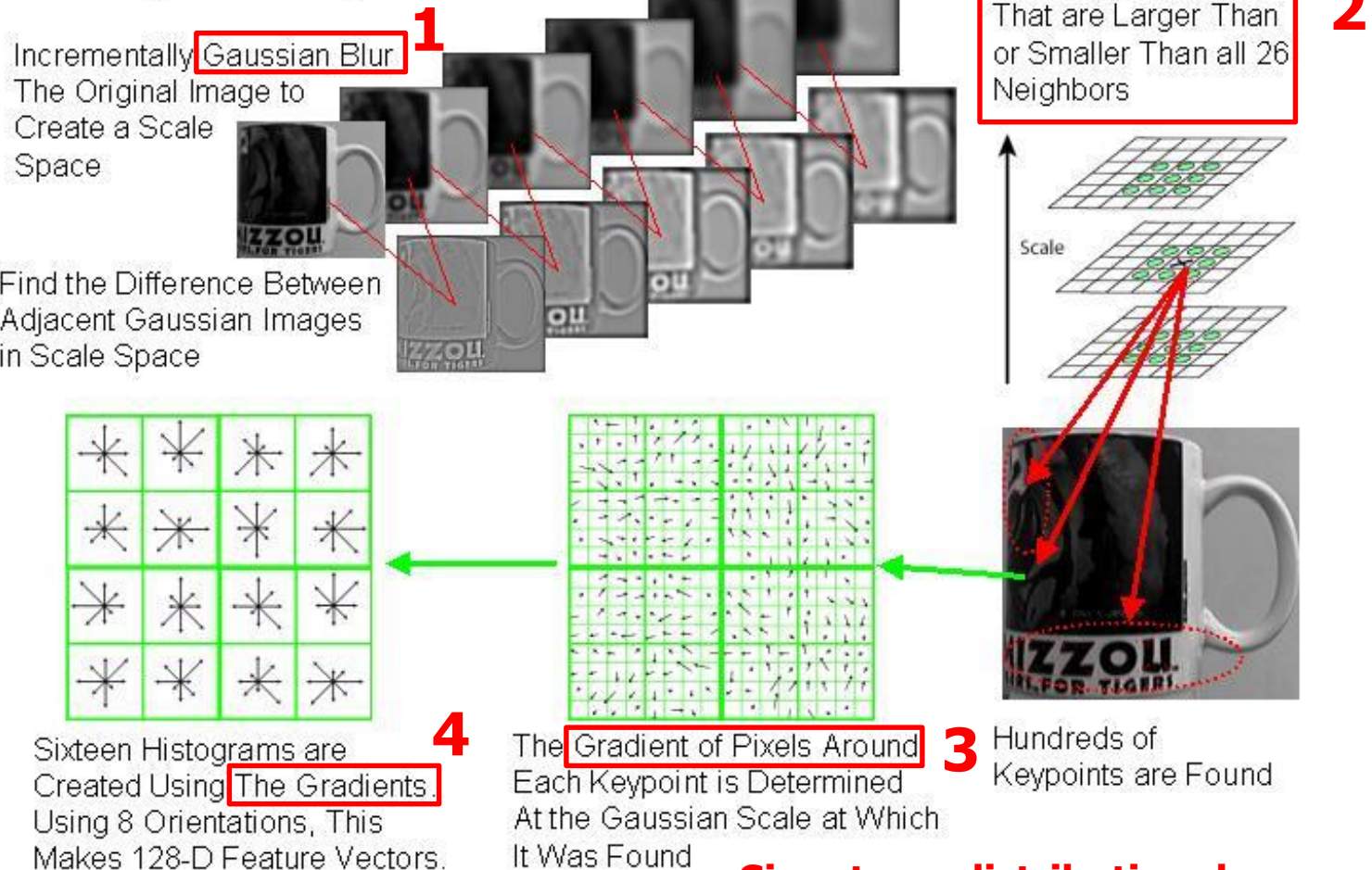
SIFT: Scale Invariant Feature Transform

The SIFT Object Recognition Algorithm



SIFT: Scale Invariant Feature Transform

The SIFT Object Recognition Algorithm



Signature: distribution des gradients autour

Points repères naturels : SIFT

- Correspondance entre points de vue différents



SIFT : Retrouver plus proche voisin

- Distance Euclidienne d entre les 128 dimensions

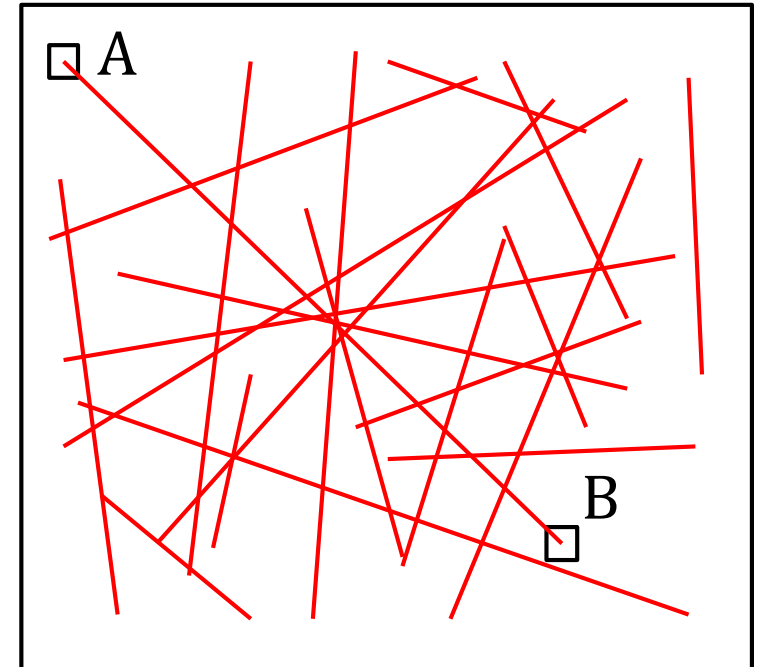
$$d(f^1, f^2) = \|f^1 - f^2\|_2 = \sqrt{\sum_{i=1}^{128} (f_i^1 - f_i^2)^2}$$

- Après avoir extrait dans l'autre image tous les SIFTs, on cherche le plus proche dans l'espace des features à 128 dimensions (approx. avec FLANN)
- Test de vérification pour contrer les matches ambigus: le ratio entre le ppv et le 2^{ème} ppv doit être inférieur à un seuil (0.6, 0.7 ou 0.8 en pratique)

Descripteur BRIEF (signature)

- **B**inary **R**obust **I**ndependent **E**lementary **F**eatures
- Choisir un patron fixe de paires de points
- 1 si intensité $A > B$, 0 sinon
- 128, 256 ou 512 paires, au hasard
- Distance entre deux descripteur : **Hamming**

Image patch centré sur keypoint



$$4 \left\{ \begin{array}{l} D1: 1 \ 0 \ 0 \ 0 \ 1 \ 0 \ 1 \ 1 \\ D2: 1 \ 0 \ 1 \ 1 \ 0 \ 0 \ 1 \ 0 \end{array} \right.$$

$$D1 \oplus D2: 0 \ 0 \ 1 \ 1 \ 1 \ 0 \ 0 \ 1$$

(xor)

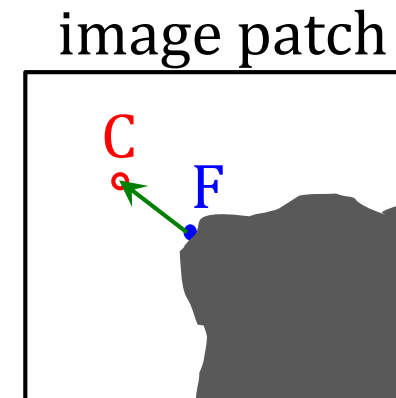
POPCNT: 4

population count

Deux instructions machines SSE
(taille registre jusqu'à 512 bits)

ORB feature

- Oriented **FAST** and **Rotated Brief**
- (1) Besoin de trouver une direction « dominante » d'un coin F : Oriented FAST
 - moment d'une image $m_{pq} = \sum_{x,y} x^p y^q I(x, y)$
 - centre de masse $C = \left(\frac{m_{10}}{m_{00}}, \frac{m_{01}}{m_{00}} \right)$
 - direction du coin : \overrightarrow{FC}



ORB : oFAST + rBRIEF

Direction \vec{FC}
du coin

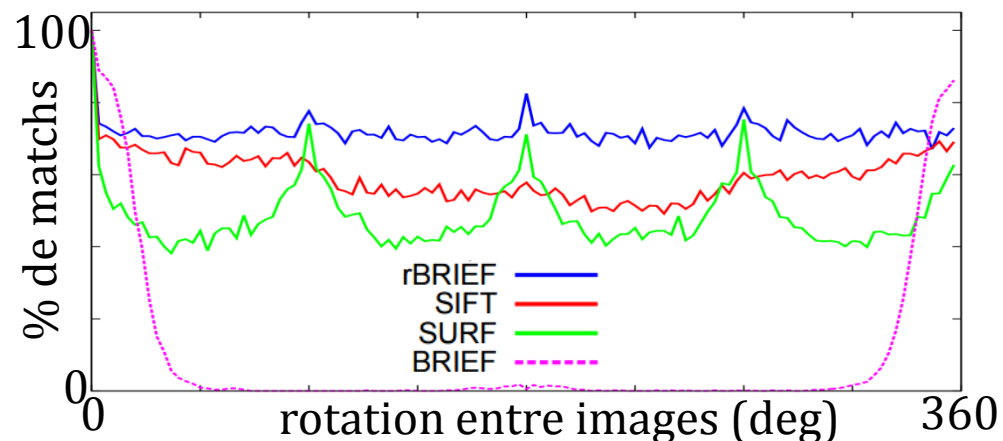
Haute

échelle
corrélation

Basse

rBRIEF

- Apprentissage d'un *rotated BRIEF* dé-corrélé
- Plus robuste que SIFT aux rotations :



ORB: An efficient alternative to SIFT or SURF, Rublee, E. et al, *ICCV* 2011.

ORB: Comparaison temps exécution

The ORB system breaks down into the following times per typical frame of size 640x480. The code was executed in a single thread running on an Intel i7 2.8 GHz processor:

ORB:	Pyramid	oFAST	rBRIEF
Time (ms)	4.43	8.68	2.12

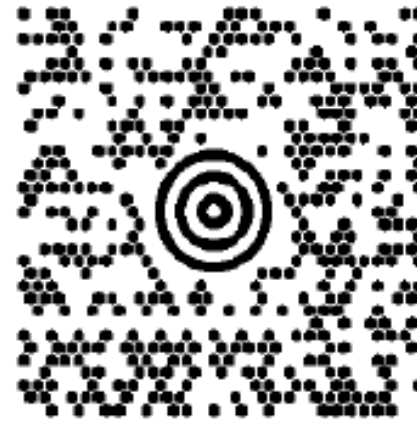
When computing ORB on a set of 2686 images at 5 scales, it was able to detect and compute over 2×10^6 features in 42 seconds. Comparing to SIFT and SURF on the same data, for the same number of features (roughly 1000), and the same number of scales, we get the following times:

Detector	ORB	SURF	SIFT
Time per frame (ms)	15.3	217.3	5228.7

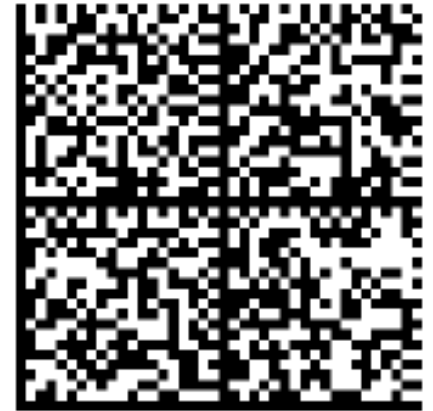
These times were averaged over 24 640x480 images from the Pascal dataset [9]. ORB is an order of magnitude faster than SURF, and over two orders faster than SIFT.

Points repères artificiels : *Fiducial Marker*

- Repères artificiels
- Grands contrastes :
 - bords
 - coins
- Facile à détecter
- Peut contenir données



(a) MaxiCode



(b) DataMatrixSymbol



(c) ARToolkit



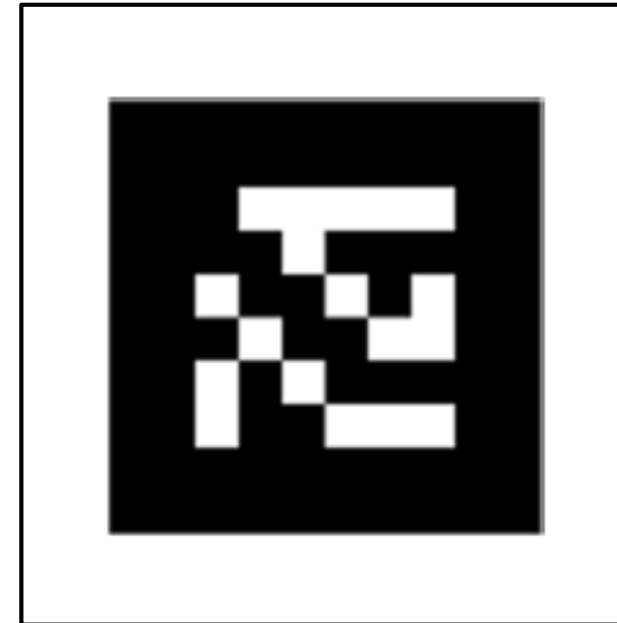
(d) ARTag

ArTag: *Fiducial Marker*

- Développé par M. Fiala
- Contient code numérique + redondance
- Retrouve position + orientation



*N'oubliez-pas la
bordure blanche!*



ALVAR (similaire à ArTag)

- Version GNU
- Fonctionne sur Windows ou Linux
- Dépend juste d'OpenCV
- <http://virtual.vtt.fi/virtual/proj2/multimedia/alvar/index.html>

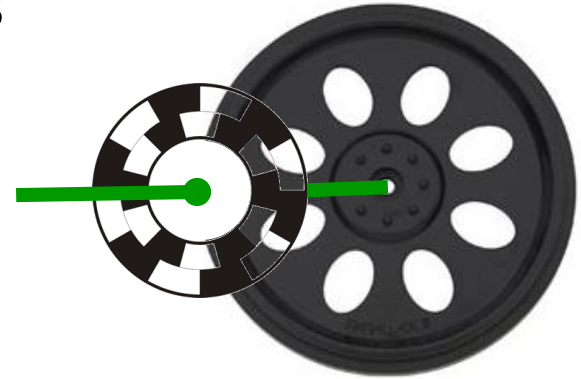


Odométrie visuelle

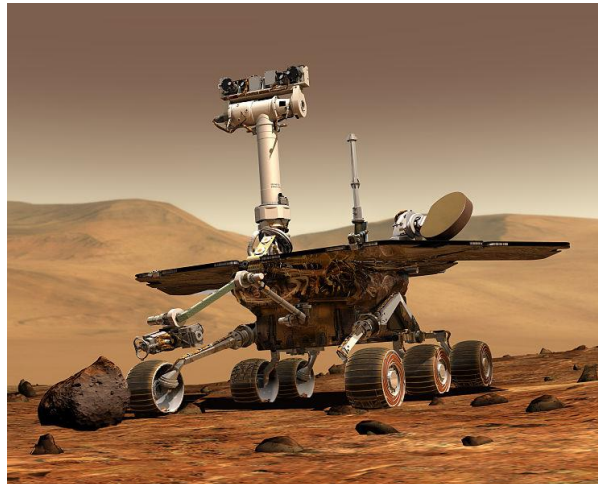
Odométrie visuelle : pourquoi?

- Odométrie : estime les déplacements du robot en fonction mouvement des actionneurs

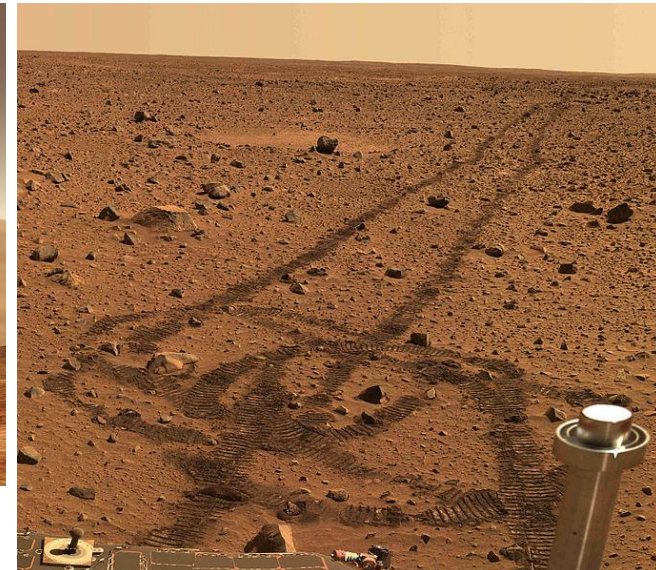
Mesurer la rotation des roues




- Difficile si :
 - robot à pattes
 - sol très accidenté
 - sol glissant (sable)



NASA Mars Rover

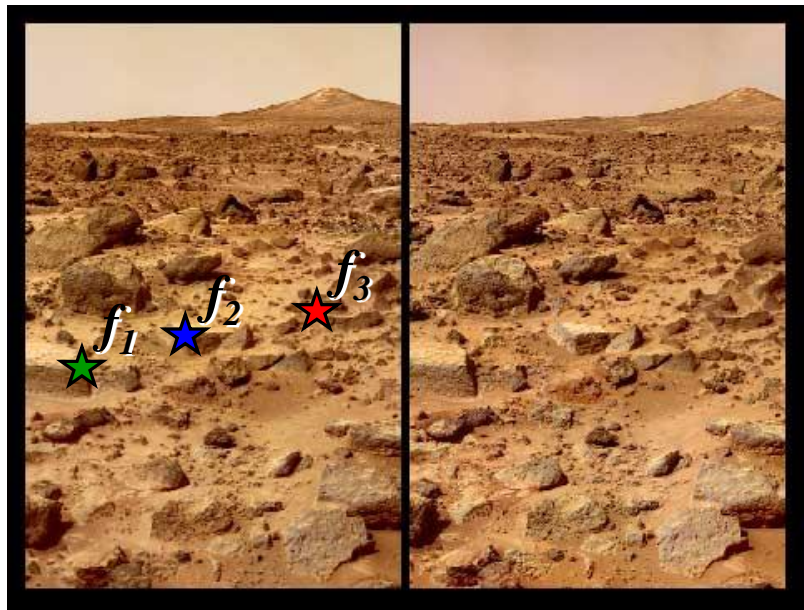


Odométrie visuelle (*visual odometry: VO*)

- Utiliser les caméras pour mesurer les déplacements relatifs du robot entre les images
 - n'estime pas la position absolue
- Peut utiliser différentes configurations de caméras
 - 1 seule
 - paire stéréo 
 - caméra omnidirectionnelle

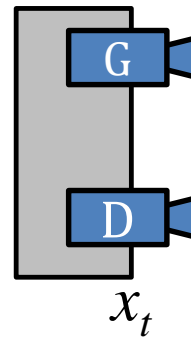
Exemple VO avec stéréo

- Identifier des « *features* » f_i dans les images I_G , I_D



I_G

I_D

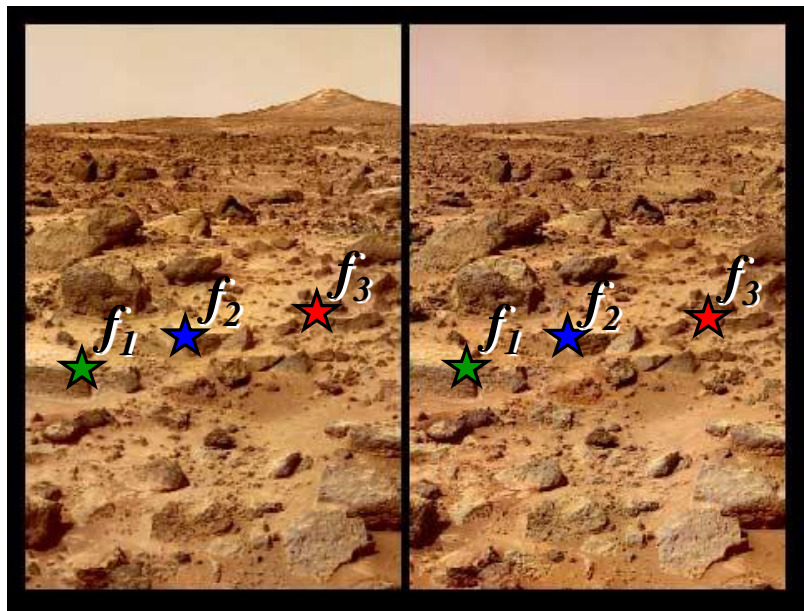


les features f_1 , f_2 et f_3 se situent quelque part sur l'une de ces lignes, respectivement

(note : ici je simplifie le problème à 2 D, vue de haut) 156

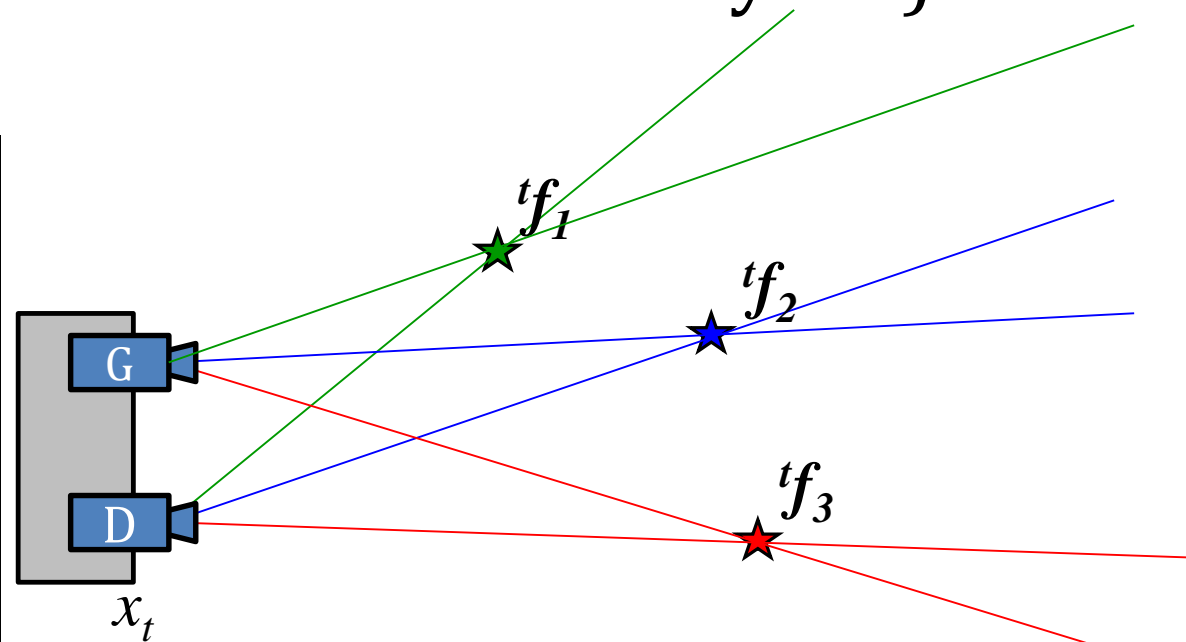
Exemple VO avec stéréo

- Identifier des « *features* » f_i dans les images I_G , I_D
- Trouve les positions des f_i dans l'environnement **avec la stéréo** (ici, l'intersection des rayons)



I_G

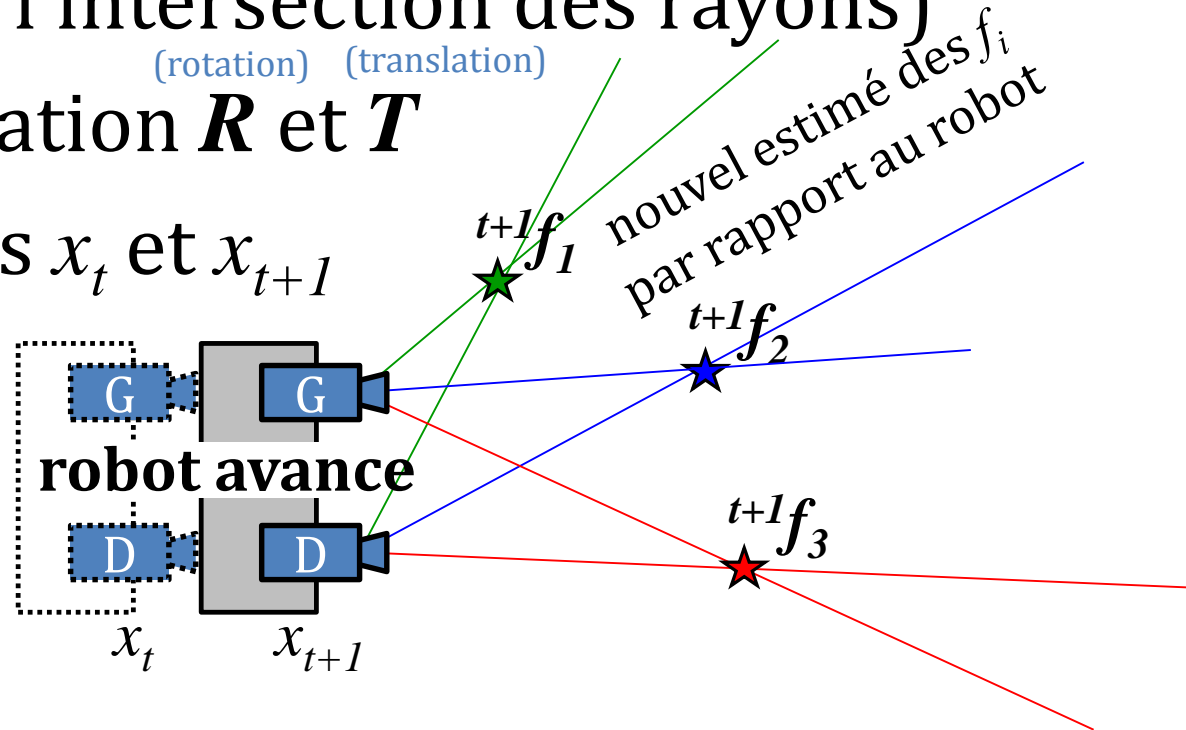
I_D



(note : ici je simplifie le problème à 2 D, vue de haut) 157

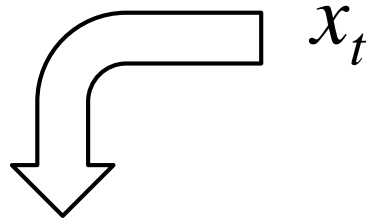
Exemple VO avec stéréo

- Identifier des « *features* » f_i dans les images I_G, I_D
- Trouve les positions des f_i dans l'environnement **avec la stéréo** (ici, l'intersection des rayons)
- Cherche transformation R et T entre les deux poses x_t et x_{t+1}

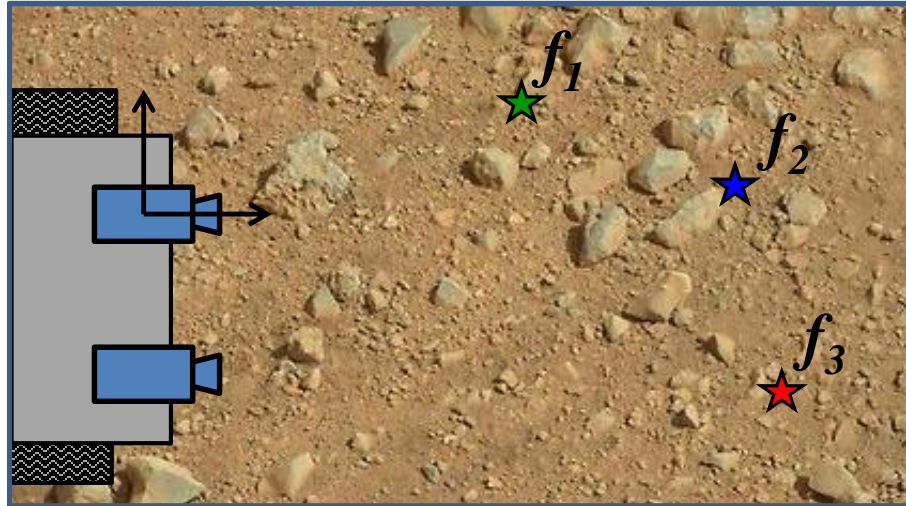


(note : ici je simplifie le problème à 2 D, vue de haut) 158

Transformation

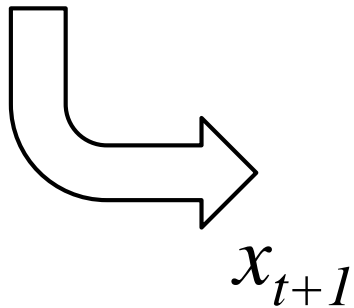


x_t

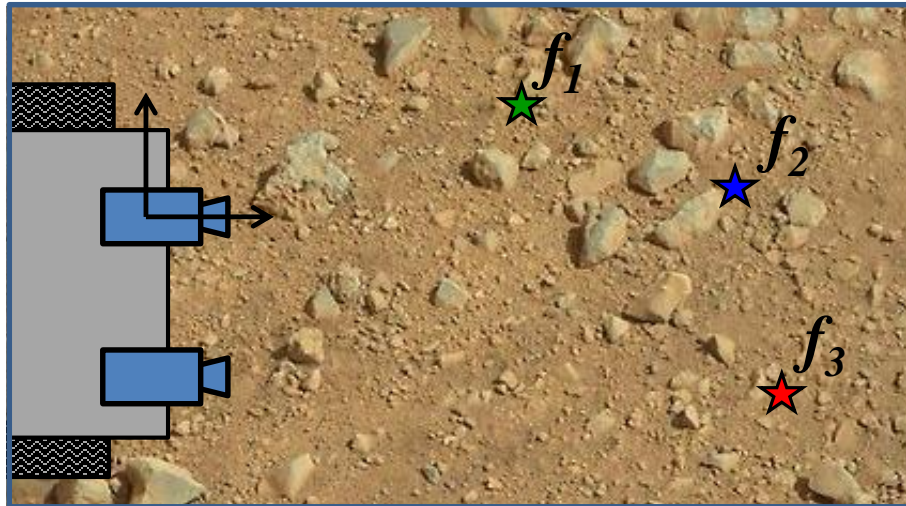


vue de haut

le robot avance...

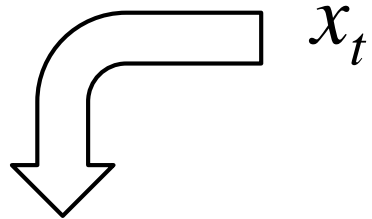


x_{t+1}

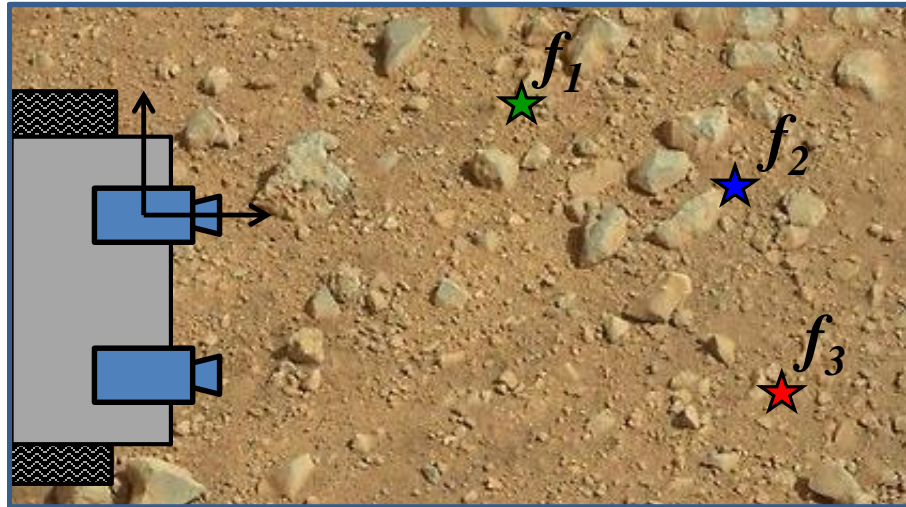


vue de haut

Transformation

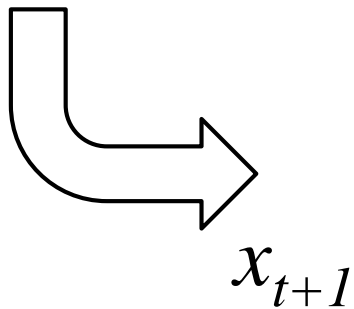


x_t

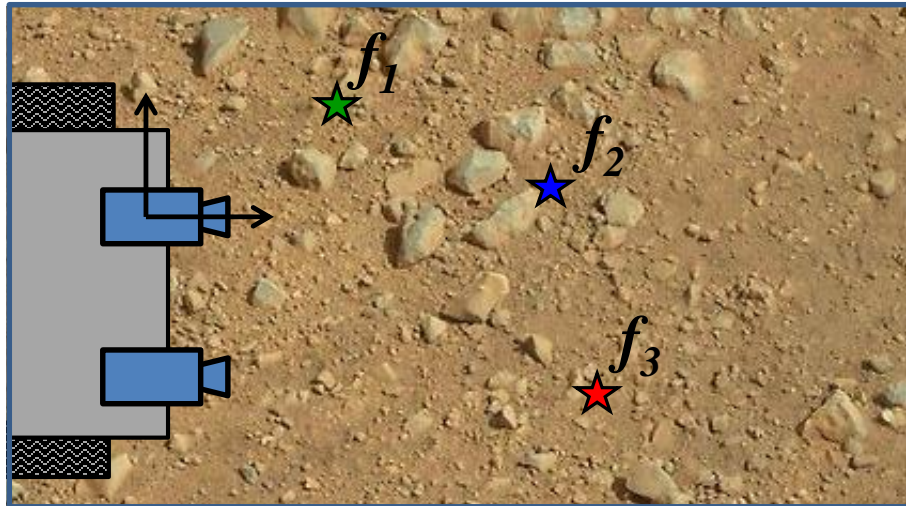


vue de haut

le robot avance...



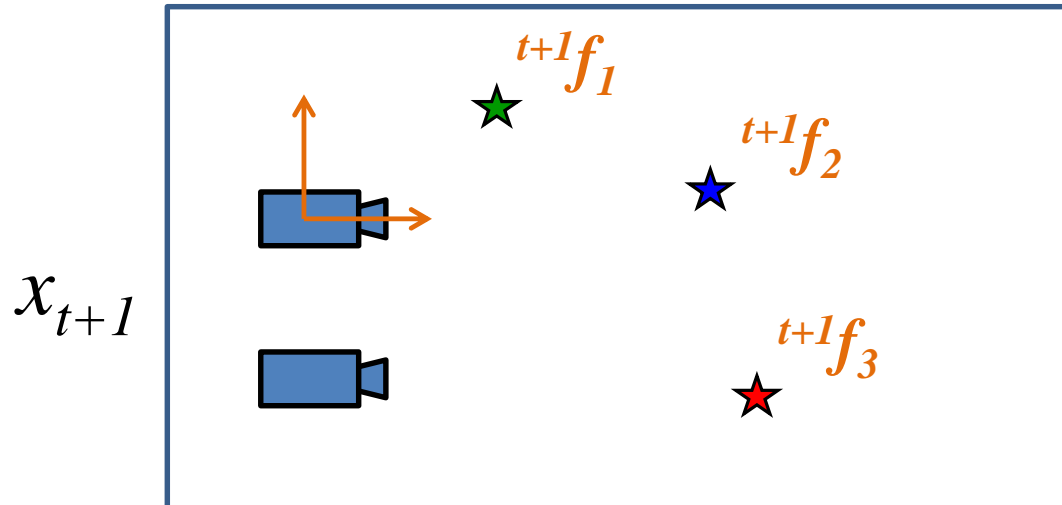
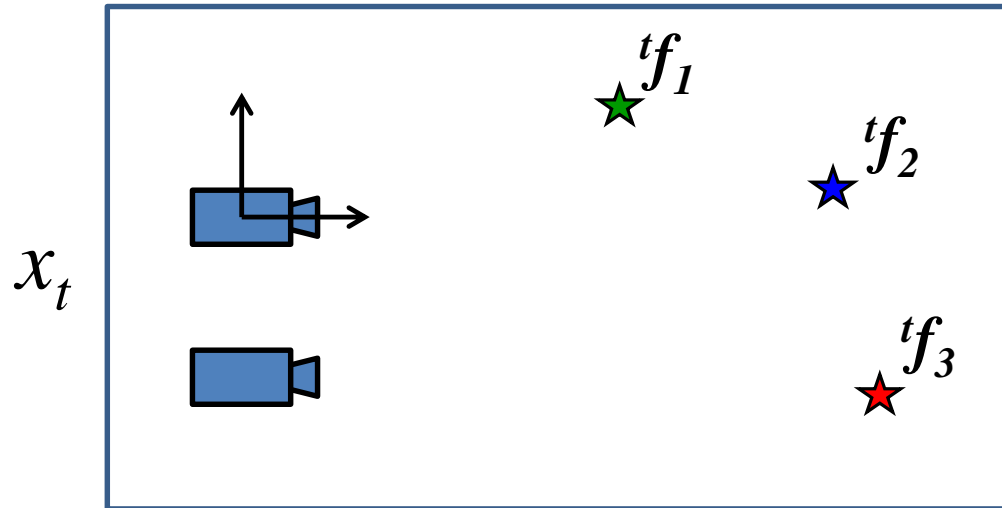
x_{t+1}



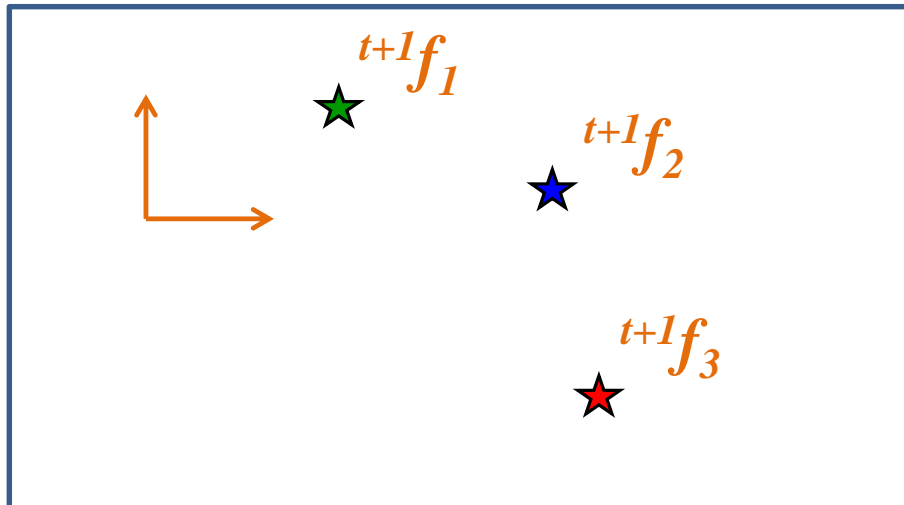
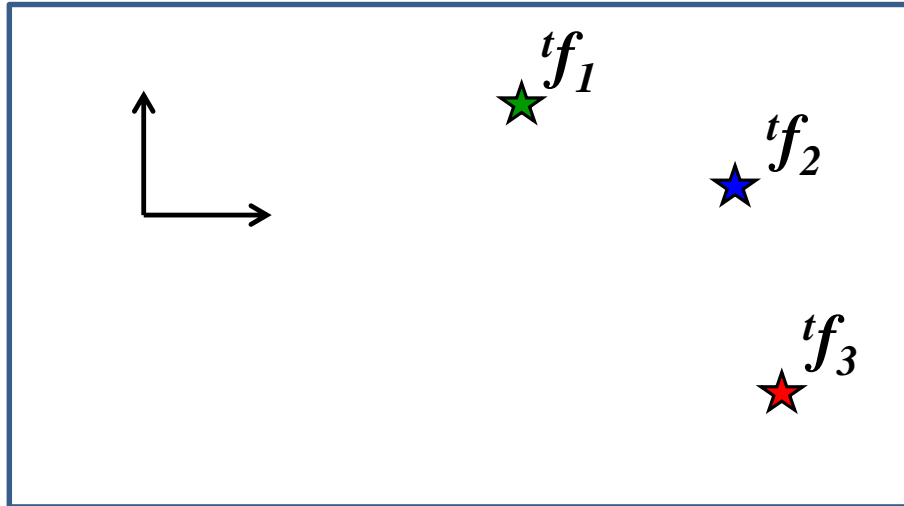
vue de haut

ici les *features* f_i
sont plus
proches car le
robot a avancé

Transformation

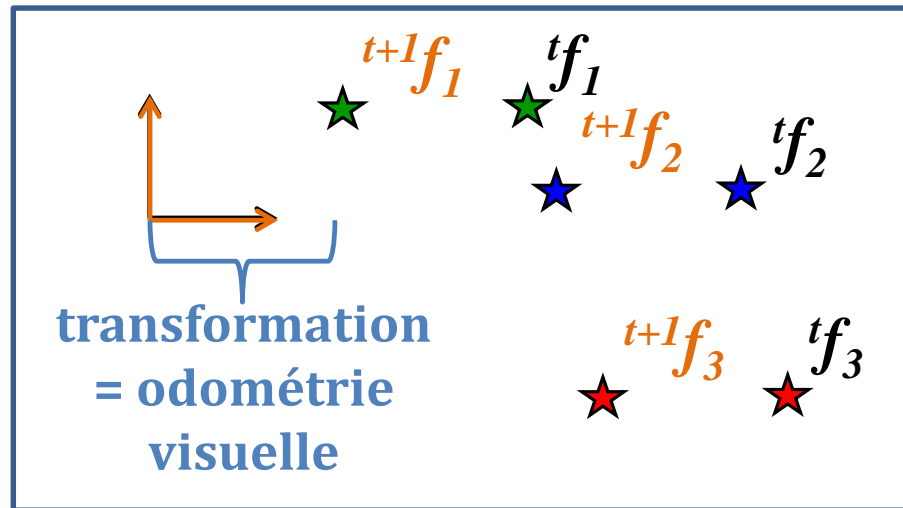


Transformation



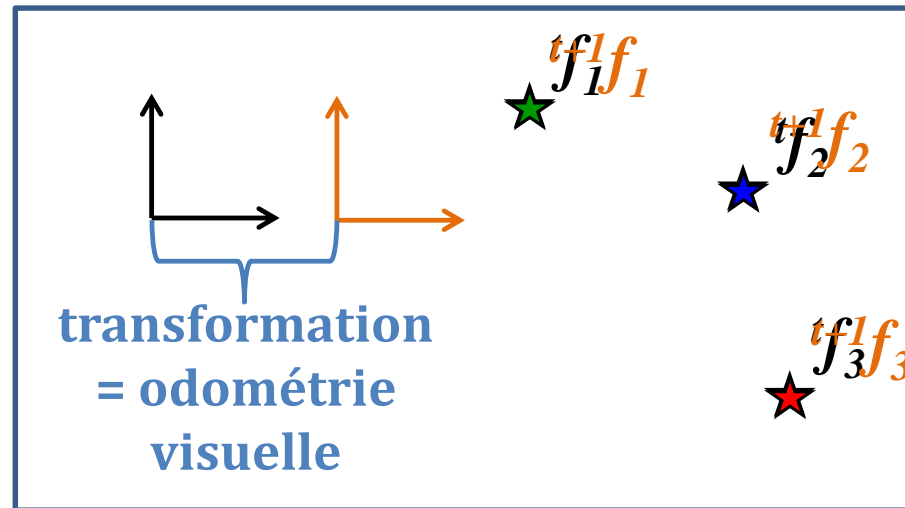
Transformation

Trouver R et T pour faire matcher les ${}^{t+1}f_i$ avec les ${}^t f_i$



Transformation

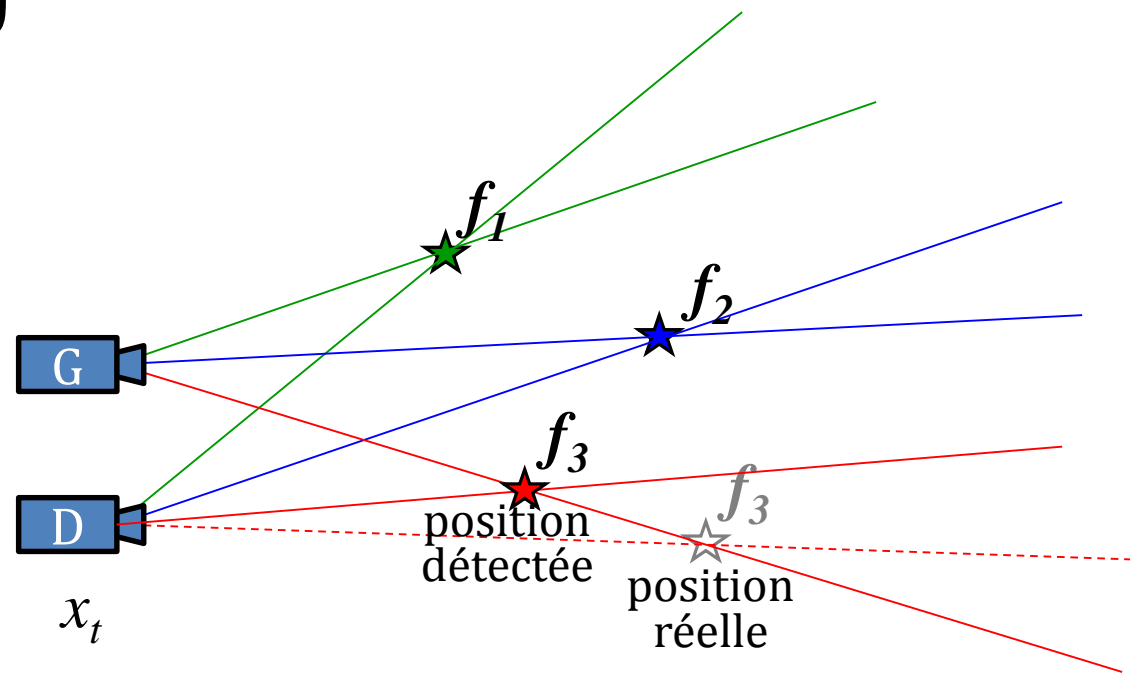
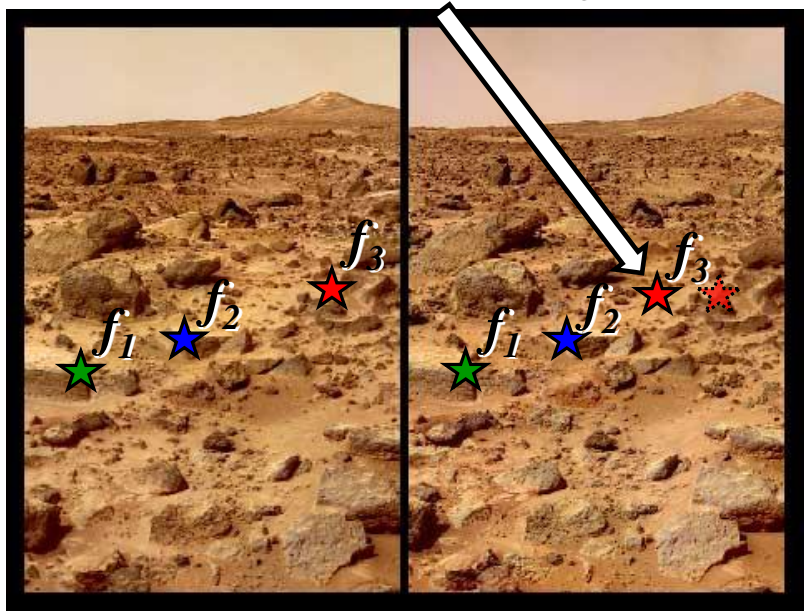
Trouver R et T pour faire matcher les ${}^{t+1}f_i$ avec les ${}^t f_i$



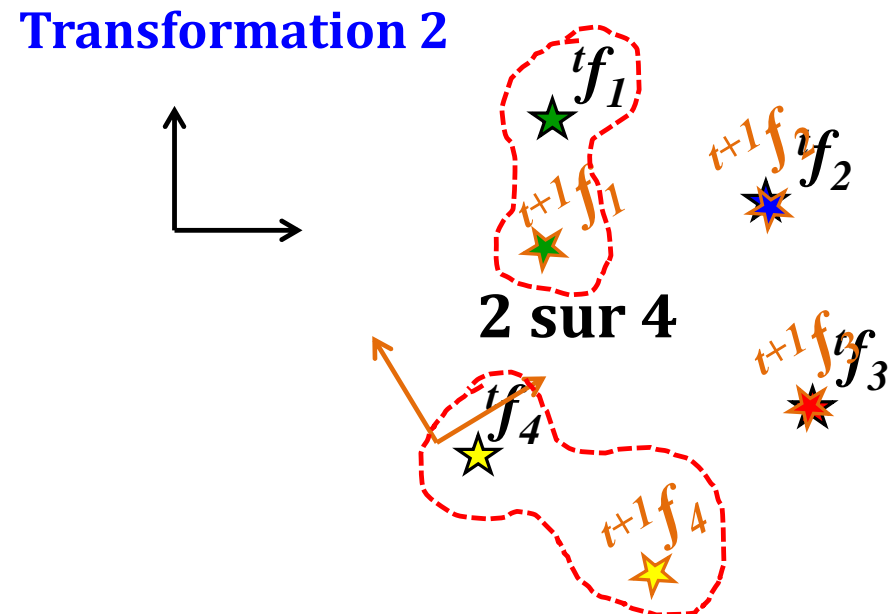
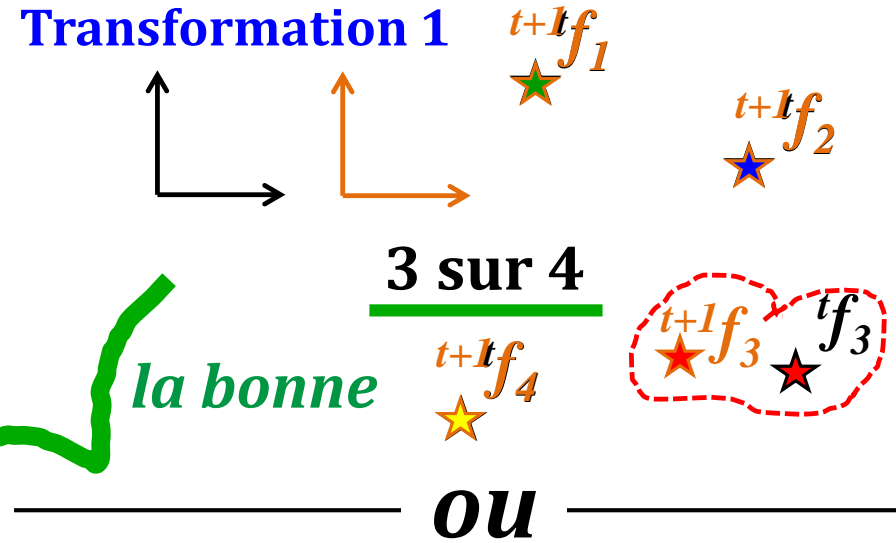
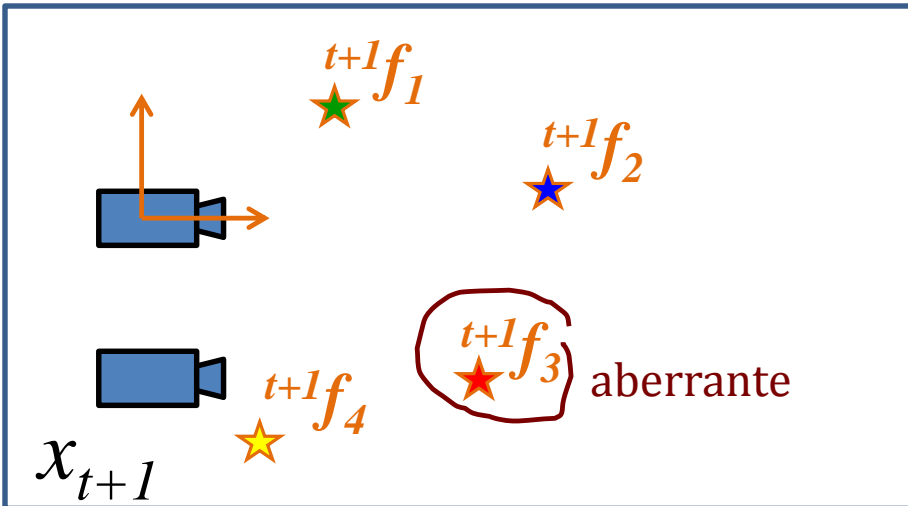
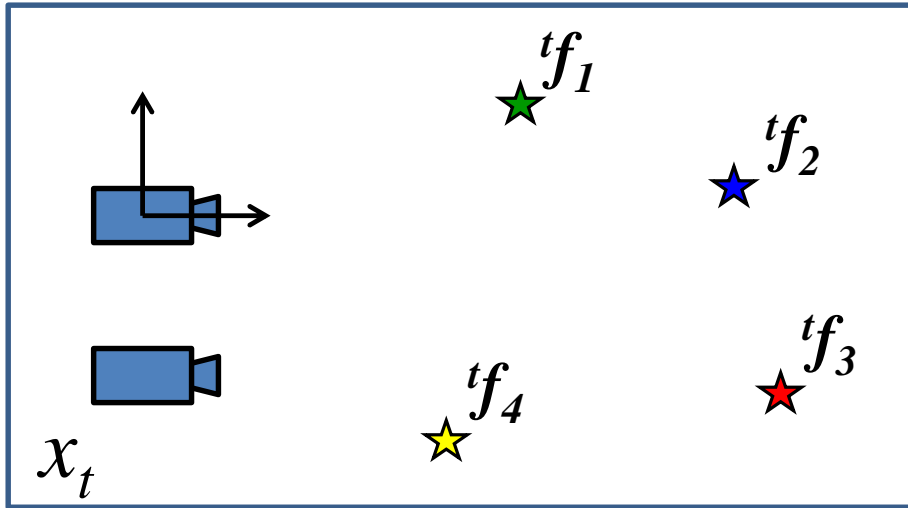
Cas Réel

- Dans la réalité, il va y avoir des incertitudes
 - mesure des angles (petite variation approx. normale)
 - erreur dans la classification des *features* f_i : données aberrantes (outliers)


mauvaise détection de f_3 dans I_D



Cas avec 1/4 donnée aberrante



RANSAC : RANdom SAmple Consensus

- Proposé par Fischler et Bolles en 1981
- Méta-algorithme probabiliste 

Algorithm 1 RANSAC

- 1: Select randomly the minimum number of points required to determine the model parameters N_{min}
- 2: Solve for the parameters of the model.
- 3: Determine how many points from the set of all points fit with a predefined tolerance ϵ_{Tol} .
- 4: If the fraction of the number of inliers over the total number points in the set exceeds a predefined threshold τ , re-estimate the model parameters using all the identified inliers and terminate.
- 5: Otherwise, repeat steps 1 through 4 (maximum of N times). $N \approx \frac{1}{w^{N_{min}}}$ $w = \text{prob. inlier}$

note: on peut aussi faire toutes les N itérations, et garder le modèle avec le plus grand nombre d'inliers

Tester toutes les combinaisons possibles : k parmi $n = \binom{n = \# \text{éléments}}{k = N_{min}} = \frac{n!}{k!(n-k)!}$: trop grand!

Exemple RANSAC

$$y = 0.5x + 1 + \varepsilon_b$$

$$\varepsilon_b \sim N(0, 0.3^2)$$

en lien

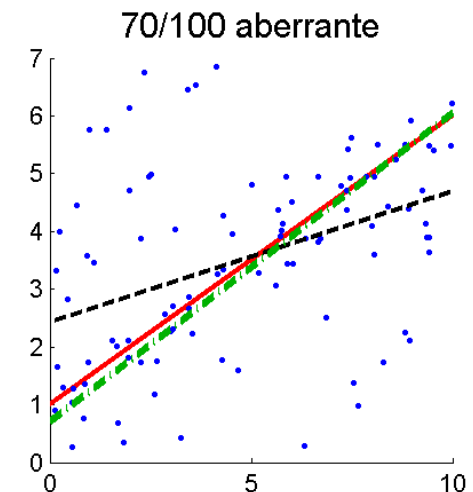
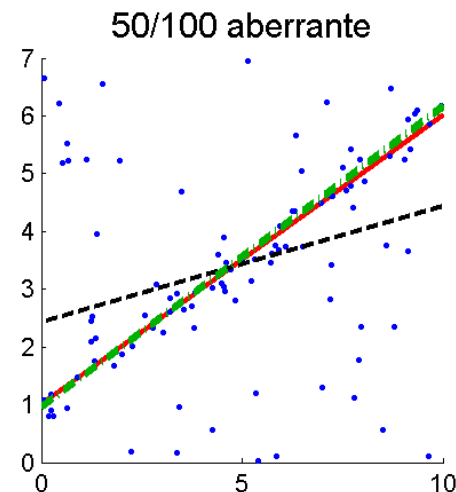
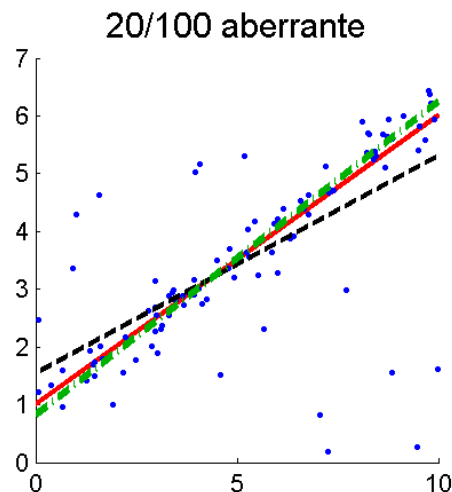
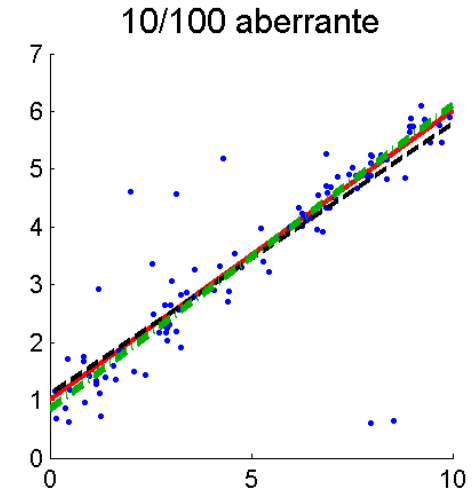
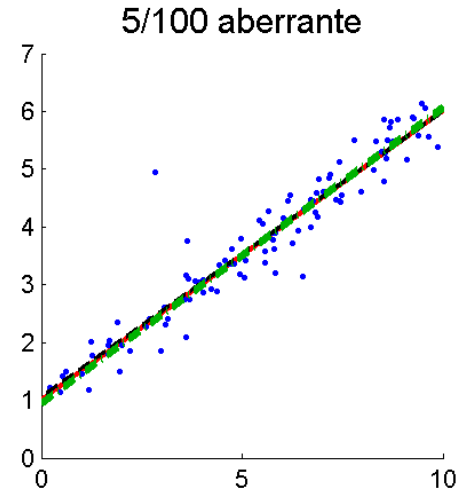
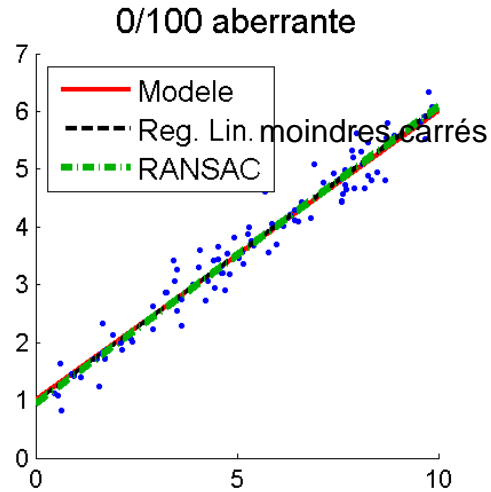
Param. RANSAC

$$N_{min} = 2$$

$$\#iter N = 300$$

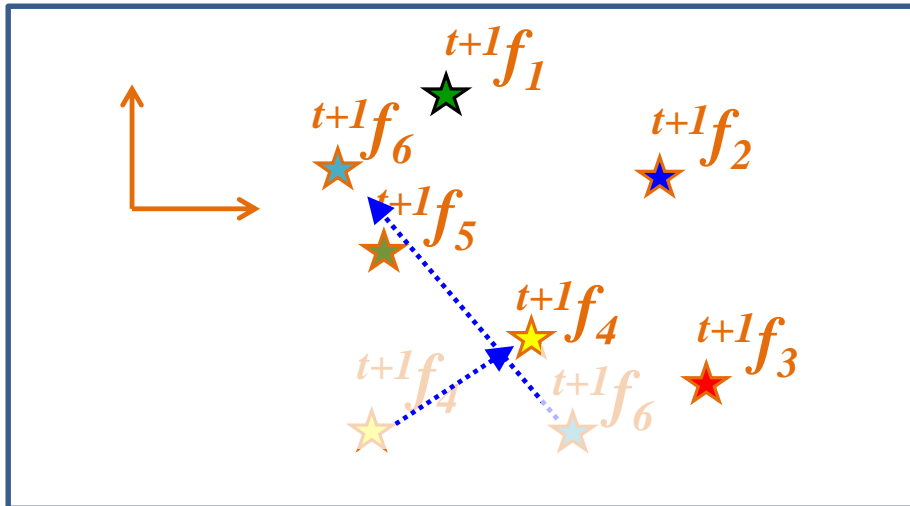
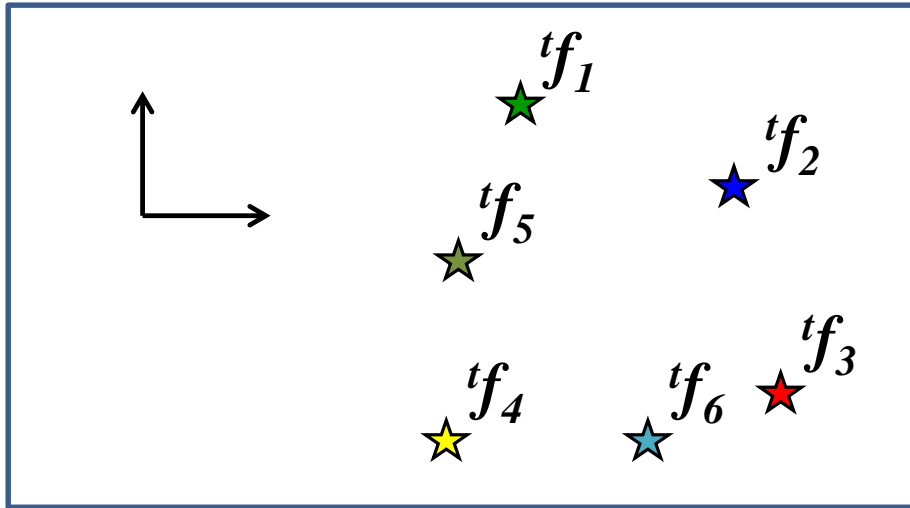
$$\varepsilon_{Tol} = 1.0$$

$$\text{Ratio inliers } \tau = 10\%$$

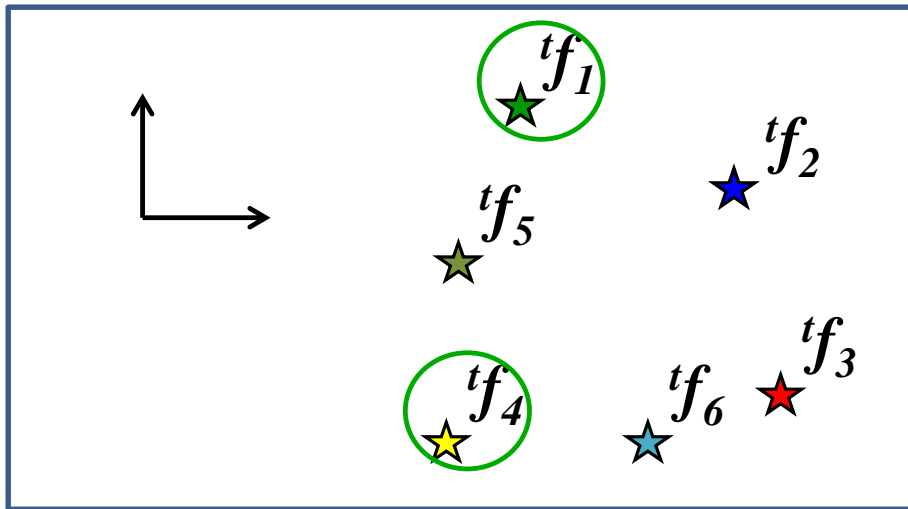


Note : hypothèse sous-jacente des moindres carrés : bruit gaussien.

RANSAC pour VO : Essai #1

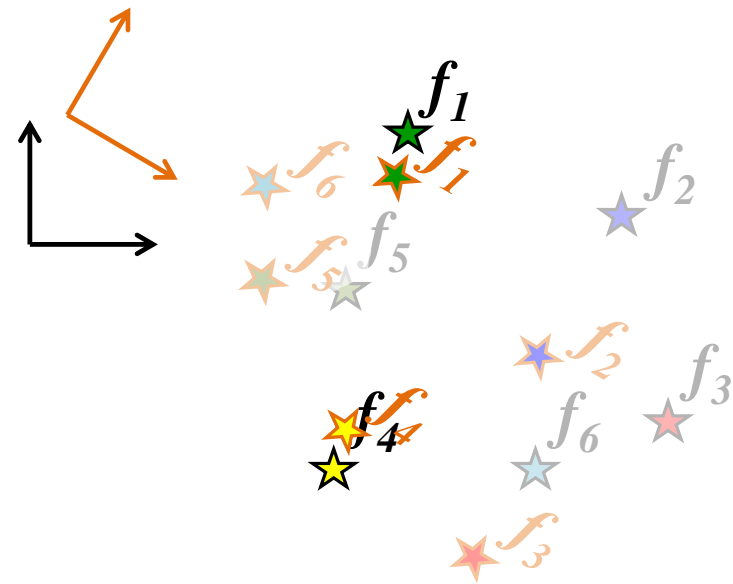
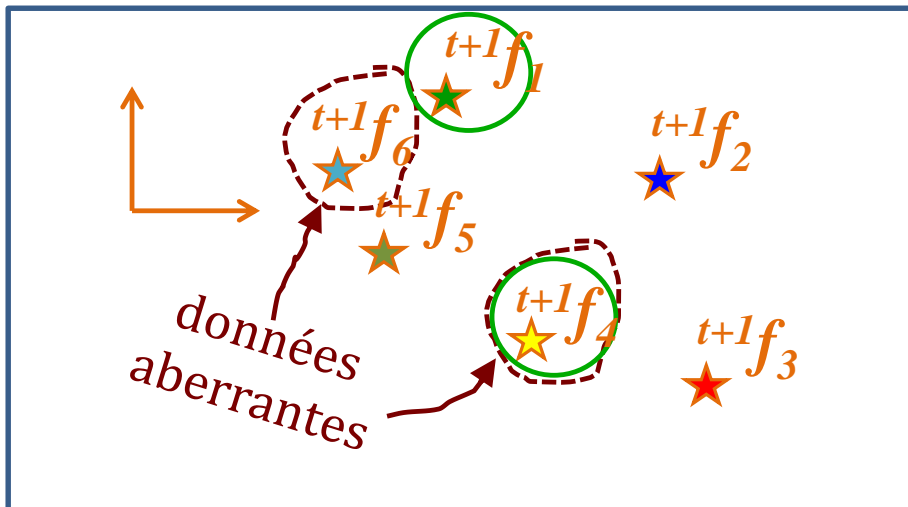


RANSAC pour VO : Essai #1



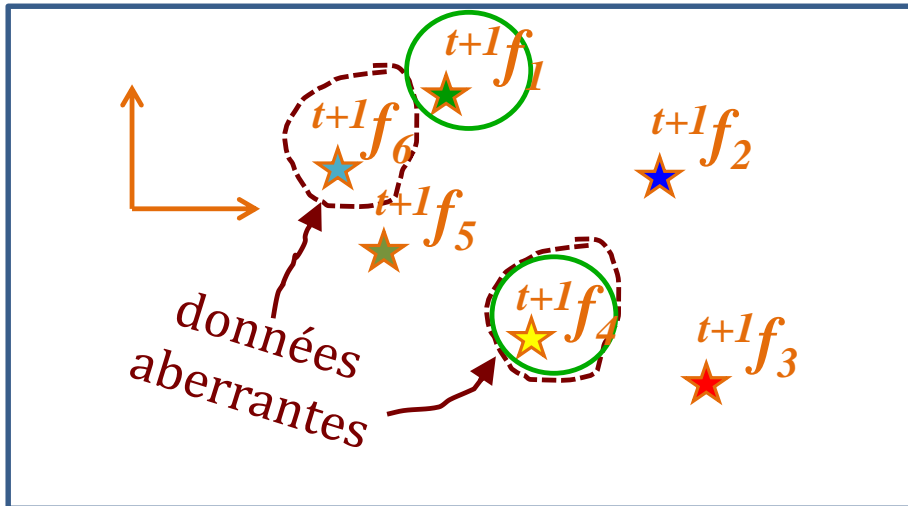
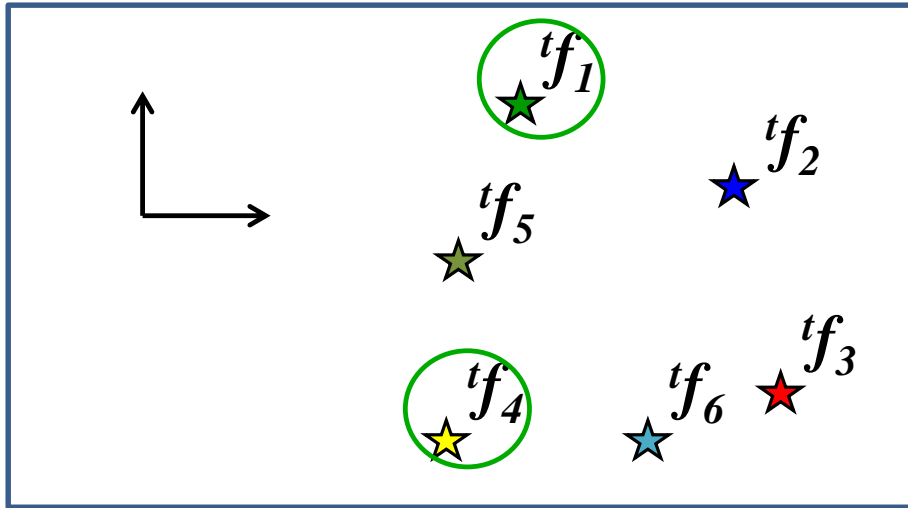
Pige 2* *features* au hasard : f_1 et f_4

Trouve T et R pour les matcher



* *besoin de seulement 2, car les f_i ne sont pas anonymes*

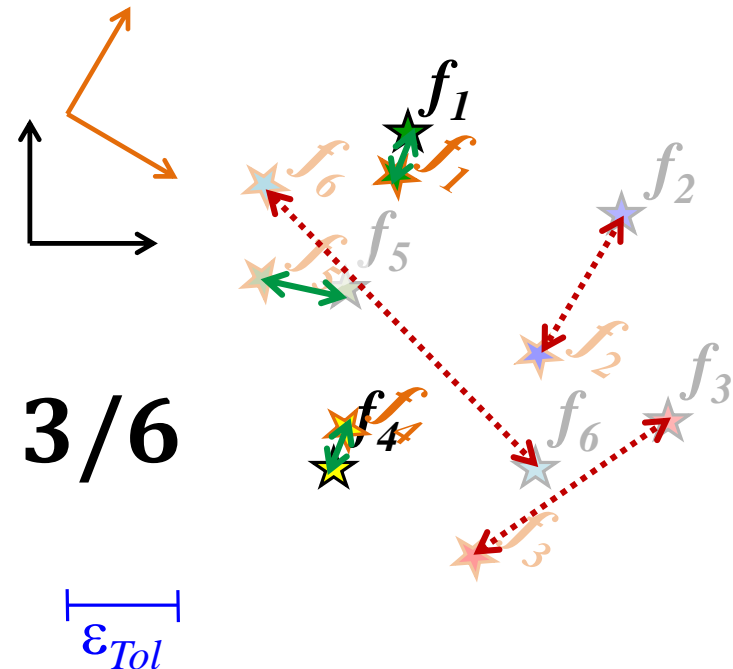
RANSAC pour VO : Essai #1



Pige 2* *features* au hasard : f_1 et f_4

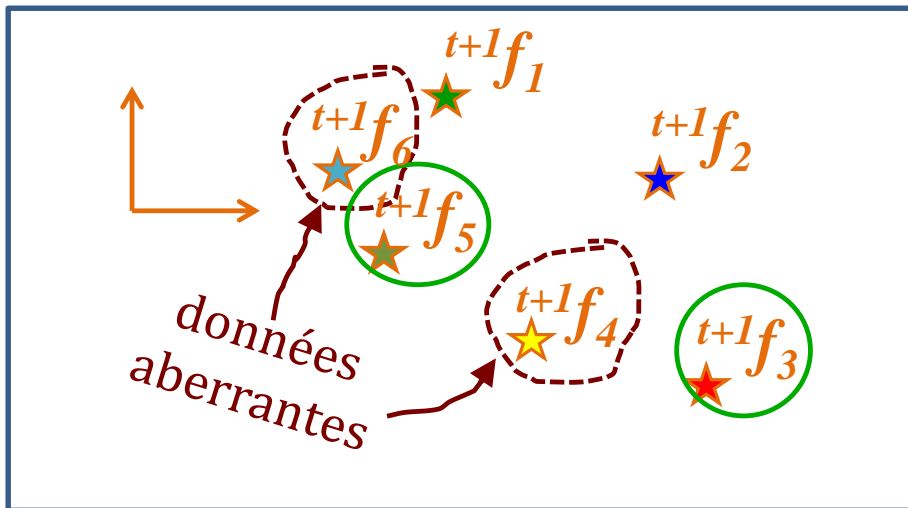
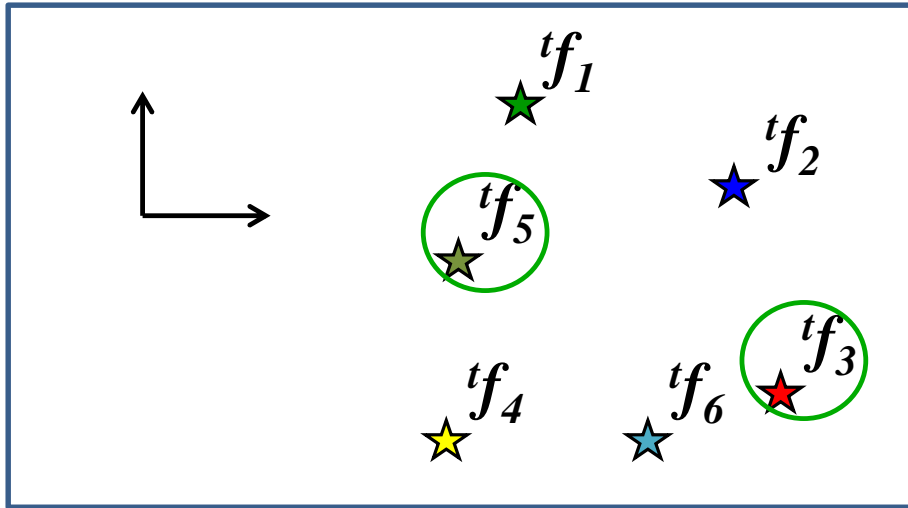
Trouve T et R pour les matcher

Compter les matchs $< \epsilon_{Tol}$

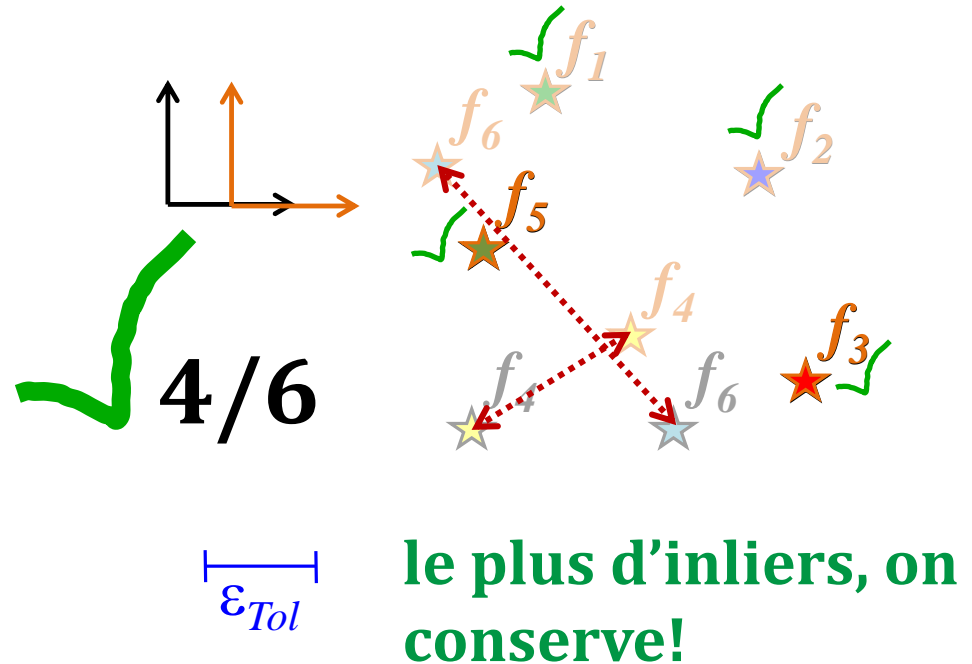


* *besoin de seulement 2, car les f_i ne sont pas anonymes*

RANSAC pour VO : Essai #2



Pige 2 *features* au hasard : f_3 et f_5
Trouve T et R pour les matcher
Compter les matchs $< \epsilon_{Tol}$



le plus d'inliers, on conserve!